パプアニューギニア材の加工的性質 第6報

西ニューブリテン産材の材質、物理的性質および耐朽性

未利用樹種研究班⑪

Working Group on Utilization of Tropical Woods: Properties of Some Papua New Guinea Woods Relating with Manufacturing Processes VI Wood qualities, physical properties and decay durability of some West New Britain woods

要 旨: 西ニューブリテンのホスキンス付近で採取した天然木 20 種 20 個体と造林木 3 種 4 個体に ついて、前報にひきつづき、構造、物理的性質および耐久性を調べた。交錯木理はブラックビーンな どで特に著しかったが、供試全個体の約半数ではかなり軽微であった。脆心材の面積率は前報のもの に比べると概して小さく最大は ステルクリアの 10.2% であった。 容積密度数の樹幹横断面の変動は 樹心から外周に 向かって 大きくなるものがほとんどで, ま た, 各個体の平均値はブスプラムが 798 kg/m^3 で最大, バルサが $99 kg/m^3$ で最小で, 前回のものより重いものが多かった。 収縮はブスプ ラムで最も大きく, バルサが最も小さかった。吸水量の樹幹半径方向の変動は辺・心材界の不明な個 体で種々のパターンを示したが、 樹心から $^{1}/_{8}$ \sim $^{2}/_{8}$ の部位で各個体の 平均的な値を示すものが多か った。曲げ強さの形質商はバルサが小さく、アグライア、ハードセルチスで最も大きく、衝撃曲げ吸 収エネルギーが比重に比べ小さいものはブラックビーンで、特に大きいものはバルサであった。耐朽 性はスポンジアスなど7個体が低く、ニューギニアウォールナットなど8個体が高かった。水の加圧 注入量を前回の樹種も含めて検討したところ、辺材では比重に逆比例する傾向が認められた。

次 目

ま え が き24
1. 供 試 木
1.1 供 試 樹 種25
1.2 供試木,供試材の形状および配分34
2. 構造および物理的性質・・・・・・・・・・・・・・・・・・・・・・・・・・・・・・・・・・・・
2.1 交錯木理, 脆心材43
2.2 生材含水率および生材比重
2.3 比重および収縮率54
2.4 吸 水 性
3. 強度的性質
4. 耐 朽 性71
4.1 比較耐朽性71
4.2 加 圧 注 入 性71
引 用 文 献
Summary79

まえがき

第1報ないし5報には、パプアニューギニアの東ニューブリテンで採集した天然木の利用に関する諸試 験の結果を集録した。 その後, 西ニューブリテンのホスキンス付近でも 採集を行ない, 入手した天然木 20種 20個体と造林木3種4個体について同様の試験を進めているので、それらの結果を逐次報告するこ ととする。第6報には、このうち供試木の樹種・形態に関する記載と、丸太材質、物理的・強度的性質お よび保存性に関する試験の結果を集録した。

本研究は、科学技術庁特別研究調整費による「未利用樹種の利用技術に関する総合研究」の一部として 行なわれたもので、実施にあたり各方面より多大のご協力を賜っている。

供試木の採集・同定についてはパプアニューギニア国の Department of Forests のご支援によるとこ ろが多く、採集の現地作業と採集木の輸送については日商岩井株式会社東京木材第二部と Stettin Bay Lumber Pty. Ltd. のご協力を得た。ここに深甚の謝意を表する。

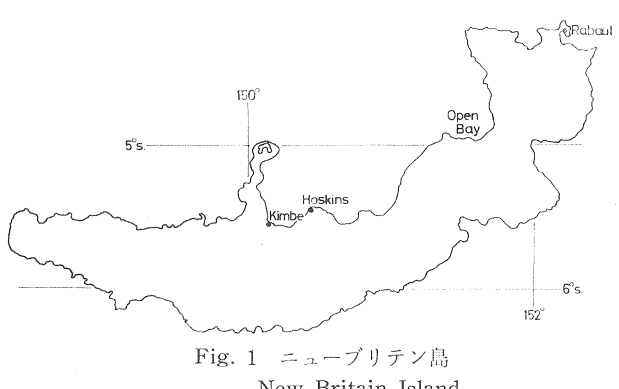
研究の計画と実施に際しては、上村 武場長および加納 孟木材部長のご配慮にあずかり、試験材の木 取り・加工などについては製材研究室・木工室・応用研究室をはじめ部内関係各位にたいへんお骨折りを いただいた。この機会をかりて厚くお礼申し上げる。

1. 供 盂 木

健(1) 緒 方

供試木は次の3か所で採集した(Fig. 1)。

- 1) ブブシ (Buvusi) 地区:ホスキンス (Hoskins) の 西南約 15 km にある森林で,海岸からは約 6 km 離れているが、 海抜高は山麓で5 m ほどの低地である。 海抜 100 m 以下の低い山が重なり合い、多 数の小沢が入り組んだ複雑な地形をなす。雑多な樹種により構成される森林で, 樹高も最大 50 m ほどで ある。
- 2) ラキアマタ (Lakiamata) 地区: キンベ (Kimbe) の東南約 15 km にある森林で, 海岸からは 13 km ほど入っている。やはり海抜高は低く, 大きくゆるやかに起伏する変化の少ない地形である。 樹種は マラス (Malas: Homalium foetidum (RoxB.) BENTH.) がひじょうに多く, 大径木の約 60% を占めると



New Britain Island.

3) タバイリカウ (Tabai-Rikau) 造林地:ホスキンス空港に近い平坦地 で、パプアニューギニア山林局により 造林されている。樹齢が若いので, 今 回採集したバルサ,カメレレ,チーク の各供試木はそれぞれの林分で最大級 のものである。

思われる。

天然木については前回採集した樹種 を除き, 直径 およそ 50~70 cm を 目

(1) 木 材 部

途に選木した。ただしスポンジアスは追試を要したため 今回も採集した。伐採は 1976 年 9 月 1 日から同 6 日の間に行なった。原則として板根の直上部から 10 m 長の丸太を採材したが,伐採時に一部がさけたもの,下部に腐朽があったものなどはそれを除いた部分から採材し,また枝下高の低いことなどから材長が 10 m に満たないものもあった(Table 2)。伐採,玉切り後,直ちにその場で両木口にペースト状の防黴剤(商品名トップジンM:チオファメートメチル, 1,2-bis(3-methoxycarbonyl-2-thiourade)benzen)を塗布した。これはこの薬剤が主に青変菌の防除にどの程度の効果があるかをテストする意味も含んでいたが,結果は丸太の側面からの青変菌の侵入が著しく,木口塗布だけではほとんど無効果に等しいことが後に製材段階で判明した。

伐採後,各丸太は数日以内にホスキンスとキンベの中間地点にあるブルマ (Buluma) の 港へ搬出された。9月17日現地出航,9月末に愛知県蒲郡港に着き,入関手続き等を経て,10月14日に当場に到着した。従って現地での伐採から数えると1か月余の時間を要している。

1.1 供試樹種

今回の採集木は天然木 20 本, 造林木 4 本の計 24 本である (Table 1)。なおここにあげた一般名は,パプアニューギニアで標準名として用いられているものである。

1) ニューギニアウォールナット Dracontomelon puberulum Miq. (Syn. D. mangiferum Bl.) ウルシ科 (供試番号 201)

Dracontomelon 属は8種の樹木からなり、東南アジア〜太平洋地域に分布する。本種 *D. puberulum* はほぼこの全域にわたって分布する種類である。ブブシ地区にも比較的多い。

ニューギニアウォールナットの名は、暗色の縞をもった 心材 の色調が北米の ブラックウォールナット (Juglans nigra L., クルミ科) に似ているためにつけられた。色調のすぐれたものは化粧用材とされる。 文献では気乾比重 0.54^{10} 。フィリピンに分布する同属のダオ (D. dao (Blco.) Rolfe et Merr.) も同様の木材で知られている。

供試材 辺材は新鮮なときは淡黄白色,乾燥後は淡灰褐色~淡灰桃色を帯びる。心材は桃褐色で多数の 不規則な緑黒色の縞がある。辺心材の区別は明瞭。生長輪はあまりはっきりしない。光沢がある。肌目の 精粗は中。

2) スポンジアス Spondias dulcis Forst. ウルシ科 (供試木番号 202)

本種は前回の供試木に入っていたが、 追試を要したため今回も採集した。 文献では 本種の 気乾比重は 0.43^{10} 。

供試材 幹の下部に心腐れがあったため、元口の位置を上部にずらせた。材は淡黄白色~淡灰黄色で、中央部に径約 20×30 cm の桃褐色をした部分が明瞭に区別できる。前回の供試木も そうであったが、本種は大径木になると常に中央にこのような濃色の部分が認められるようである。周辺部は青変が著しい。生長輪はあるがあまり顕著ではない。やや光沢がある。肌目はやや粗。

3) スロアネア Sloanea insularis A. C. Sm. ホルトノキ科 (供試木番号 203)

Sloanea 属は約 100 種の樹木からなり、東南アジア〜太平洋地域(オーストラリア、ニューカレドニアまで)および熱帯アメリカに分布する。ラキアマタ地区では本種はあまり多くはみられなかったが、シラカバのような白い木肌と鋭い巨大な板根で林内では目立つ木である。 文献によると同属の S. forbesii の 気乾比重は 0.56^{10} 。

Table 1. 供 試 木 Sample trees

供試木 番 号 Number	学 名 Scientific name	科 名 Family	— 般 名 Common name	採集地 ¹⁾ Locality
201	Dracontomelon puberulum	ウルシ科 (Anacardiaceae)	ニューギニアウォールナット (New Guinea Walnut)	В
202	Spondias dulcis	" (")	スポンジアス (Spondias)	В
203	Sloanea insularis	ホルトノキ科 (Elaeocarpaceae)	スロアネア (Sloanea)	L
204	Endospermum moluccanum	トウダイグサ科 (Euphorbiaceae)	ニューギニアバスウッド (New Guinea Basswood)	В
205	Pimelodendron amboinicum	" (")	ピメロデンドロン (Pimelodendron)	L
206	Garcinia latissima	オトギリソウ科 (Guttiferae)	カンジス (Kandis)	L
207	Litsea irianensis	クスノキ科 (Lauraceae)	リッェア (Litsea)	L
208	Castanospermum australe	マ メ 科 (Leguminosae)	ブラックビーン (Black Bean)	L
209	Pterocarpus indicus	" (")	ニューギニアローズウッド (New Guinea Rosewood)	L
210	Aglaia litoralis	センダン科 (Meliaceae)	アグライア (Aglaia)	L
211	Amoora cucullata	" (")	パシフィックメイプル (Pacific Maple)	В
212	Dysoxylum arnoldianum	" ()	ダイゾックス (Dysox)	В
213	Parartocarpus venenosus	ク ワ 科 (Moraceae)	パラルトカルプス (Parartocarpus)	В
214	Maranthes corymbosa	バ ラ 科 (Rosaceae)	ブスプラム (Busu Plum)	В
215	Neonauclea maluensis	アカネ科 (Rubiaceae)	イエローハードウッド (Yellow Hardwood)	В
216	Burckella macropoda	アカテツ科 (Sapotaceae)	ランラン (Rang Rang)	В
217	Alianthus integrifolia	ニ ガ キ 科 (Simaroubaceae)	ホワイトシリス (White Siris)	L
218	Sterculia parkinsonii	アオギリ科 (Sterculiaceae)	ステルクリア (Sterculia)	L
219	Celtis luzonica	ニ レ 科 (Ulmaceae)	ハードセルチス (Hard Celtis)	В
220	Vitex cofassus	クマツヅラ科 (Verbenaceae)	ガラムート (Garamut)	В
221	Ochroma pyramidale	パンヤ科 (Bombacaceae)	バ ル サ (Balsa)	P
222	Eucalyptus deglupta	フトモモ科 (Myrtaceae)	カメレレ (Kamerere)	P
223	Tectona grandis	クマツヅラ科 (Verbenaceae)	チ ー ク (Teak)	P
224	"	" (")	" (")	P

注) 1)採集地 B:ニューブリテン島ホスキンスの西南約15kmのブブシ地区;L:同キンベの東南約15kmのラキアマタ地区;P:ホスキンス空港近くのタバイリカウの造林地Notes) 1)Locality B:Buvusi, ca. 15km south-west of Hoskins, New Britain Is.; L:Lakiamata, ca. 15km south-east of Kimbe; P:Plantation at Tabai-Rikau, near Hoskins Air Port.

供試材 辺材は淡黄白色~淡黄色,心材は新鮮なときは明るい褐色を示すが,乾燥後はいくらか緑色を帯びた淡灰黄色で,辺・心材の境がやや不明瞭になる。生長輪は顕著ではない。やや光沢がある。肌目の精粗は中。

4) ニューギニアバスウッド *Endospermum moluccanum* (T. et B.) Kurz トウダイグサ科 (供試 木番号 204)

Endospermum 属は 13 種の樹木からなり、東南アジア〜太平洋地域に分布する。いずれも淡色、 軽軟な木材を有し、ニューギニア地域にも 4 種があるが、材の利用上区別されない。ニューギニアバスウッド の名は、軽軟な材がバスウッド (シナノキ属 Tilia の樹種の英名) に多少似ているためにつけられた。わが国では家具の内部、 サンダル や ハイヒールの心などによく用いられる。 文献では気乾比重 0.38^{10} (E.medullosum)。

供試材 辺・心材の区別は不明で淡黄色~淡黄白色を示すが、外周部 $4\sim5$ cm ほどはいくらかより淡色で、その部分が著しく青変菌に犯されている。部分的に鮮黄色を帯びる。光沢がある。生長輪は不明。 肌目の精粗は中。

5) ピメロデンドロン Pimelodendron amboinicum Hassk. トウダイグサ科 (供試木番号 205)

Pimelodendron 属は $6\sim8$ 種の樹木からなり,東南アジア〜太平洋地域に分布する。本種 P. amboinicum はモルッカ諸島〜ニューギニアの樹木で,この属の樹木の特徴として,樹皮を傷つけると黄白色の粘質の乳液が多く流れ出る。大径のものが少なく,わが国では M. L. H. (雑軽軟広葉樹) として扱われていると思われるが,材の外観はややラミン(Gonystylus spp., Gonystylaceae)に似ている。 文献では気乾比重 0.57^{10} 。

供試材 辺・心材の区別は不明で、新鮮なときはやや褐色を帯びた淡黄色であるが、乾燥後は淡黄白色で、周辺部の青変が著しい。光沢はあまりない。生長輪は顕著でない。肌目はやや精。

6) カンジス Garcinia latissima Mig. オトギリソウ科 (供試木番号 206)

フクギ属 Garcinia は約 400 種の樹木からなり、旧世界の熱帯〜亜熱帯に分布するが、とくに東南アジアに種類が多い。フクギ (G. spicata L.) はわが国の西南部諸島にも分布し、またマンゴスチン (G. mangostana L.) の果実は美味で知られる。この属の樹木は樹皮を傷つけると黄色〜白色の樹脂がにじみ出る。大木になるものが少ないので、木材は利用上あまり知られていない。文献では気乾比重 0.81^{10} (Garcinia spp.)。

供試材 辺・心材の区別は不明瞭で、全体に淡黄色~帯褐淡黄白色を示すが、周辺部が内部よりやや淡色である。木口ではピスフレックが目立つ。光沢に乏しい。生長輪は少し認められる。肌目はやや精。

7) リツェア Litsea irianensis Kost. クスノキ科 (供試木番号 207)

ハマビワ属 Litsea は熱帯アジアを中心として分布する約 400 種の樹木からなり、 わが国の 暖地にもハマビワ (L. japonica (Thunb.) Juss.) とバリバリノキ (L. acuminata (Bl.) Kurata) の 2 種が自生する。 クスノキ科の樹木はマレーシア、インドネシアではメダン (Medang) と総称されることが多いが、ハマビワ属の樹種は出現頻度からもその代表格である。 わが国では M. L. H. として扱われるのがふつうで、ニューギニア産の同属の L. domarensis の気乾比重は、文献によると 0.46^{10} 。

供試材 枝下が低く、かつ上部が二また木であったため材長が短くなった。辺心材の区別はあまり明瞭でなく、いくらか緑色味を帯びたにぶい淡黄色~淡黄褐色を示し、周辺部が内部よりやや淡色である。少

し光沢がある。生長輪がやや認められる。肌目はやや粗。生材でもクスノキ科によくある特別のにおいは あたない。

8) ブラックビーン Castanospermum australe A. Cunn. マメ科 (供試木番号 208)

Castanospermum 属はマメ科マメ亜科 (Papilionoideae) に属し、本種1種のみを含む。オーストラリア東北部、ニューギニア、ニューブリテン島に分布するが、一般に天然木は少なく、ホスキンス付近でも "幻の木"と称されている。 濃色の心材が美しいので化粧用材に用いることができる。 気乾比重は当場の 材鑑によると $0.70\sim0.73$ 。

供試材 大径木であったが下部と上部(枯枝より)に心腐れがあったので材長が若干短くなった。辺材は淡黄白色で幅がせまく、心材は濃淡の縞をもった濃暗褐色(くすんだチョコレート色)で、辺・心材の区別はきわめて明瞭である。一部の道管に淡黄白色のチョーク様物質を含む。やや光沢がある。生長輪が認められる。肌目の精粗は中。

9) ニューギニアローズウッド Pterocarpus indicus WILLD. マメ科 (供試木番号 209)

Pterocarpus 属はマメ科マメ亜科 (Papilionoideae) に属し、世界の熱帯に約50種がある。そのうちいくつかの樹種は赤褐色~紫褐色系の美麗な心材をもち、銘木として知られている。本種もわが国ではカリン(花櫚)の名で唐木の1種として昔から家具、彫刻、楽器などに賞用されてきたもので、その美しさと狂いの少ないことで定評がある。またフィリピンではナラ (Narra) と呼ばれ、最高級木材のひとつとされている。東南アジア一帯~ニューギニアにおよぶ広い範囲に分布し、生育環境によって材質にかなりの幅がある。心材は赤褐色で、濃色のものから比較的淡色のものまであり、比重は0.34~0.94で、0.58~0.65程度のものが標準である。リップルマークをもつ。また道管の配列が環孔材的傾向をもつ。樹皮を傷つけると血のような樹液が流出するが、これを乾固させたものがキノ (Kino) で薬用とする。ホスキンス付近にはあまり多く生育していない。

供試材 下部に心腐れがあったのと、幹の曲がりが大きかったので材長が短くなった。辺材は新鮮なとき淡黄色、乾燥後は淡黄白色~淡灰白色を示す。心材は橙褐色でやや濃淡の縞をもち、中心付近では部分的に色が褪せている。辺心材の境は明瞭。やや光沢がある。生長輪が認められる。肌目はやや粗。木口割れがひじょうに少ない。

10) アグライア Aglaia litoralis Zipp. センダン科 (供試木番号 210)

Aglaia 属は東南アジア〜太平洋地域に約 200 種あるが、種類が多いので分類がむずかしい。 材質は種類により異なるが、濃色でやや重硬な材をもつ樹種が多い。文献によると気乾比重 $0.72\sim0.96^{17}$ (Aglaia spp.)。樹皮を傷つけると白色の乳液が出る。

供試材 新鮮なときは辺材は淡黄白色で、内側ほど桃色を帯び、心材は濃桃紫色を示す。乾燥後は辺材は淡灰褐色~桃灰色、心材は桃褐色~帯紫褐色で、辺材から心材にしだいに色が移るが、その境は区別できる。 やや光沢をもつ。 生長輪が認められる。 肌目はやや精。 乾燥した丸太の木口には細かい割れが多い。

11) パ**シフィックメイプル** Amoora cucullata RoxB. センダン科 (供試木番号 211)

Amoora 属は約20種の樹木からなり、アジア〜太平洋地域に分布する。パプアニューギニアではパシフィックメイプルの名がつけられているが、メイプルすなわちカエデ類 (Acer spp.) とは葉形や材にも類似性がなく、名称の由来が不明である。文献では本種の材の気乾比重は0.53¹⁾。樹皮を傷つけると粘質

の白色の乳液が出る。

供試材 新鮮なときは辺材は黄白色でしだいに桃色を常び、濃桃色の心材に移る。乾燥した材では、辺材は桃灰色、心材は桃褐色~桃紫色を示す。 辺材の付近に同心円状に幅の広い (約1cm) 濃色をした異常部がみられ、そこでは道管の分布が少ない。光沢がある。生長輪がある。肌目はやや粗。

12) **ダイゾックス** Dysoxylum arnoldianum K. Schum. センダン科 (供試木番号 212)

Dysoxylum 属は約150種の樹木からなり、東南アジア〜太平洋地域に分布する。この属の木材は心材が淡色のものから濃色のものまであり、帯状の柔組織がよく発達する。淡色のものは同科の Chisocheton 属の木材によく似ている。これらの属の木材は、先の Aglaia, Amoora 属とともにわが国ではまだなじみが少なく、M. L. H. として扱われている。

供試材 辺材ははじめやや桃色を常びた黄白色で、乾燥後は淡灰褐色~淡黄褐色を示し、周辺部は青変している。 中央に 直径約 15×20 cm の淡褐色~褐色の着色部があり、 その外側の淡色の部分と明瞭に区別できる。少し光沢がある。生長輪は不明瞭。肌目の精粗は中。

13) パラルトカルプス Parartocarpus venenosus (Zoll. et Morr.) Becc. クワ科 (供試木番号 213) Parartocarpus 属は P. venenosus と P. bracteatus (King) Becc. の 2種からなり、後者はマラヤ、スマトラ、ボルネオの低地にある種類である。 P. venenosus は東南アジア〜ニューギニア に分布するが、4 亜種に分けられ、ニューギニア地域のものは ssp. papuanus (Becc.) Jarrett である。文献¹⁾²⁾ や当場の標本によると、ssp. papuanus の気乾比重が 0. 46(0. 39~0. 49)であるのに対し、マラヤ、スマトラ、ボルネオの亜種である ssp. forbesii(King)Jarrett では 0. 60(0. 56~0. 63)で、後者が一般にやや重硬である。他の 2 亜種の材については不明である。 この属の樹木は、同科の Artocarpus 属や Antiaris 属の樹木と同じく、材を含め植物体の各部に乳管があり、伐倒した場合も切口から多量の乳液が流出する。 Antiaris toxicaria Lesch. の乳液は矢毒として有名であるが、 Parartocarpus 属の乳液も同様の効用があるという。ただし Artocarpus 属の乳液は無毒。材は M. L. H. として扱われる。

供試材 材はわずかに褐色を帯びた淡黄色で、辺・心材の区別が不明瞭であるが、外側の部分はやや淡色である。丸太の周辺部は著しく青変している。光沢がある。生長輪はほとんどない。肌目はやや粗。伐倒時、幹の下部がさけたため、やや上部から採材した。

14) ブスプラム Maranthes corymbosa Bl. (Syn.: Parinari corymbosa (Bl.) MlQ.) バラ科 (供 試木番号 214)

Maranthes 属はしばしば広義の Parirari 属に含めて扱われ、 材も似ている。 Maranthes 属は 11 種の樹木からなるが、そのうち 10 種はアフリカにあり、 1 種 M. corymbosa のみが東南アジア〜太平洋地域にかけて広く 分布する。 最近パナマの Couepia panamensis Standl. が本種と 同一種であることがわかり、太平洋をまたがって分布する稀な例のひとつに数えられている。 文献では気乾比重 0.8810。

供試材 新鮮時には辺材は褐黄色で、桃褐色の心材にしだいに移行する。乾燥した材は一様なくすんだ 桃褐色で、辺材部はいくらか淡色であるが区別は不明瞭である。光沢に乏しい。生長輪はあまりはっきり しない。肌目の精粗は中。放射組織に多くのシリカを含む。乾燥した丸太の木口には細かい多数の割れが 網目状にみられる。

15) **イェローハードウッド** Neonauclea maluensis (VAL.) S. Moore アカネ科 (供試木番号 215) Neonauclea 属は約70種の樹木からなり, 東南アジア〜太平洋地域に分布する。この属は元 Nauclea

属に含められていたが、別属として分離された。この両属の木材はしばしば人工的に着色したような鮮やかな橙色や桃色を示す特徴をもつ。イェローハードウッドの名も木材の色調に基づいている。文献によると本種を含む数種の平均の気乾比重は 0.80¹。

供試材 伐倒時は、辺材は帯褐黄色、心材は濃橙赤色を示し、辺・心材の区別は明瞭である。乾燥した 材では、新しく鉋削した面は鮮やかな橙桃色を示し、部分的に美しい濃桃色を帯びる。辺材はやや淡色で あるが心材との区別は少なくなる。古い材面は橙黄色を示す。光沢がある。生長輪は不明瞭。肌目はやや 精。

16) **ランラン** Burckella macropoda (Krause) H. J. LAM アカテツ科 (供試木番号 216)

Burckella 属は 11 種の樹木からなり、モルッカ諸島〜ニューギニア〜サモア諸島 に分布する。アカテッ科の木材は、マレーシア、インドネシアでは比重の比較的低いものをニャトー (Nyatoh)、高いものをビチス (Bitis) またはニャトーバッー (Nyatoh Batu) と呼ぶが、今回の供試木は 0.75 前後の比重をもつので、この両者の中間程度といえるかもしれない。アカテッ科樹木の特徴として、樹皮を傷つけると粘質の白色の樹液が出る。

供試材 新鮮なときは辺材は黄褐色でしだいに桃褐色の心材に移行する。乾燥後はくすんだ桃褐色で紫 黒色のあいまいな縞をもち,辺材はやや淡色である。生長輪が明瞭。肌目はやや精。放射組織と柔組織に 多くのシリカを含む。

17) ホワイトシリス Ailanthus integrifolia Lamk. (Syn.: A. peekelii Melch.) ニガキ科 (供試木番号 217)

ニワウルシ属 Ailanthus は 5 種の 樹木からなり, アジア〜太平洋地域の熱帯〜暖帯に分布する。 ニワウルシ (A. altissima (MILL.) Swingle) は中国原産であるが, 庭園樹などとしてわが国でもよく植えられている。 A. integrifolia は東南アジア〜ニューギニアに分布し,ニューギニアにあるのは本種 1 種のみである。この属の木材は一般に淡色,軽軟である。材にはいくらか苦味がある。

供試材 全体に淡黄色~淡黄白色で辺心材の区別は不明であるが、外側の部分はやや淡色で、青変菌に 著しく犯されている。光沢をもつ。生長輪は認められない。肌目はやや粗。

18) ステルクリア Sterculia parkinsonii (F. Mubll.) A. C. Sm. アオギリ科 (供試木番号 218)

ピンポン属 Sterculia は約 300 種の樹木からなり、世界の熱帯を中心に広く分布するが、とくにアジアの熱帯に種類が多い。ピンポンノキ (S. nobilis Smith) は中国原産で、沖縄などにも植えられ、種子が食用になる。 ニューギニアには約 20 種がある。 この属の木材は一般に淡色、 軽軟で、 文献では 気乾比重 0.32^{11} 。同科のアンベロイ (Pterocymbium beccarii K. Schum.) や先述したホワイトシリスなどとともに 淡色、 軽軟さを要する用途に用いられる。

供試材 辺・心材の区別は不明で、新鮮なときは淡黄白色、乾燥後はやや褐色を帯びた淡灰黄色~淡灰白色を示し、柾目面では高い放射組織が顕著である。青変が著しい。 丸太の中央に径約2cm の髄があり、また中央付近の材は周辺部より比重がかなり低い。光沢はあまりない。生長輪がやや認められ、それに沿って道管の分布に少し粗密がある。肌目は粗。

19) ハードセルチス Celtis luzonica WARB. ニレ科 (供試木番号 219)

エノキ属 Celtis は ニレ科の中で最大の属で、約 100 種の樹木からなり、主として北半球に分布する。 わが国にもエノキ (C. sinensis Pers. var. japonica (Planch.) Nakai)、エゾエノキ (C. jessoensis Koidz.) など4種がある。温帯産の種類の木材が一般に環孔材であるのに対し、熱帯産のものは散孔材である。パプアニューギニアでは木材の利用上、樹種により比重の比較的低いものを ライトセルチス(気乾比重 0.57^{10})、高いものをハードセルチス(気乾比重 $0.62\sim0.80^{10}$)と区別している。前回はライトセルチスを試験したので、今回はハードセルチスを採集した。

供試材 辺・心材の区別が不明で、新鮮なときは淡黄褐色、乾燥後は淡灰黄色を示し、全体にやや緑褐色を帯びた色むらが現れる。 また髄の周辺に径 3×5 cm ほどの深緑色をした部分があり、強い悪臭をもっている。光沢がある。生長輪が認められる。肌目の精粗は中。

20) ガラムート Vitex cofassus Reinw. クマツヅラ科 (供試木番号 220)

ハマゴウ属 Vitex は約 250 種の小低木ないし高木からなり、熱帯を中心に分布する。ハマゴウ $(V.\ rotundifolia\ L.)$ は海岸砂地に生育する小低木で、日本を含めアジアの暖帯~熱帯、太平洋地域に広く分布する。木材樹種としてはフィリピンのモラベ $(Molave: V.\ parviflora\ Juss.)$ が有名である。 $V.\ cofassus$ はモルッカ諸島~ニューギニア~ミクロネシアに分布する種類で、ニューブリテンやソロモンにはかなり多い。しかし幹の形がきわめて悪いのが本種の特徴で、板根が急な角度でほとんど枝下を通じて存在し、さらに幹がよじれ、深い縦みぞが幹全体に走っている。例外なくこのような樹幹をもつため森林の開発に際してもふつう伐り残され、わが国にも輸入されない。一方現地では、この木材は耐久性にすぐれ、また狂いも少ないためか、最も有用な木材のひとつとされ、建築等に用いるほかとくに彫刻用材に賞用する。 文献では気乾比重 $0.70\sim0.81^{12}$ 。

供試材 新鮮なときは辺材は褐黄色、心材は暗緑褐色で、辺心材の区別は明瞭。乾燥した材では、辺材は灰黄色~灰褐色、心材は灰褐色でいくらか緑色を帯びるが、新鮮時の濃い暗緑色はほとんどうすれ、辺・心材の境が不明瞭になる。光沢がある。生長輪が認められる。肌目の精粗は中。道管にチロースが発達する。

21) バ ル サ Ochroma pyramidale (Cav.) Urban (Syn.: O. lagopus Swartz) パンヤ科 (供試木番号 221)

バルサの学名には O. lagopus がよく用いられるが、命名規約に従うと O. pyramidale が正しい。 Ochroma 属はこれまで 11 種が記載されているが、大きくみれば O. pyramidale 1 種に帰するという見方が最近では有力である。西インド諸島、中米、南米の北西部に分布し、コロンビア、エクアドル、ペルー北部がバルサ材の主産地である。きわめて生長が早く、数年で収穫期に達するので、近年では東南アジアや太平洋地域でも早成造林樹種として用いられだした。 バルサ は商業的に取り引きされる 世界の木材の中で最も軽軟な木材であるが、生育条件や木材の 部位によって気乾比重が $0.05\sim0.41$ と大きい幅があり、ふつう $0.10\sim0.26$ 程度がよいとされる。 造林木では $4\sim8$ 年で 樹高 $20\sim25$ m、 直径 $45\sim65$ cm になり、これ以上の樹齢では比重の高い木材が形成され、中心が腐朽してくる。 熱絶縁性にすぐれるため冷凍船に多く用いられ、そのほか遮音用材、玩具、模型用材とされる。

供試材 1972年から1973年にかけて植栽され、伐採時にはほぼ4年を経過している。 辺・心材の区別は不明で、新鮮なときは淡黄白色、乾燥した木材はやや褐色を帯びた灰白色を示す。青変菌に犯されているが、変色は著しくない。やや光沢がある。生長輪はない。肌目の精粗は中。

22) カメレレ Eucalyptus deglupta BL. フトモモ科 (供試木番号 222)

E. deglupta は約500種あるユーカリ属 Eucalyptus の中でも, オーストラリアにもまた タスマニアに

Table 2. 供 試 木 お よ び Sample trees

	/II. 3-15-I.	enterfacione de descripción de la Companya del Companya del Companya de la Companya del Companya del Companya de la Companya del Companya de la Companya del Companya de la	供	試 木	Sampl	e tree	-
学名	供試木 番 号	樹高	枝下高	板根高	板根の上 の直径	枝下部 の直径 Di-	枝下材積
Scientific name	Log number	Height	Clear length	Height of buttress	Di- ameter above buttress	ameter under 1st branch	Volume on clear length
	A STATE OF THE STA	(m)	(m)	(m)	(cm)	(cm)	(m³)
-1 -1 -1 -1 -1 -1 -1 -1	201	51	16	4.2	99	79	9.9
スポンジアス Spondias dulcis	202	41	21	2,0	93	67	10.6
ス ロ ア ネ ア Sloanea insularis	203	45	17	5.1	88	70	8.3
ニューギニアバスウッド Endospermum moluccanum	204	33	18	1.4	56	35	2.9
ピメロ デンドロン Pimelodendron amboinicum	205	36	15	0.7	65	50	3.9
カ ン ジ ス Garcinia latissima	206	32	15	0.8	45	34	1.8
ו ייע ד ד Litsea irianensis	207	26	9	1.5	61	49	2.1
ブラックビーン Castanospermum australe	208	34	13	0	134	80	11.7
ニューギニアローズウッド Pterocarpus indicus	209	28	14	1.5	85	55	5.4
ア グ ラ イ ア Aglaia litoralis	210	39	15	1.3	60	51	3.6
パシフィックメイプル Amoora cucullata	211	45	24	2,6	78	57	8, 6
ダイゾックス Dysoxylum arnoldianum	212	34	15	3.3	64	51	3, 9
パラルトカルプス Parartocarpus venenosus	213	31	16	1.6	61	48	3.7
ブスプラム Maranthes corymbosa	214	34	21	0.9	60	40	4.1
イエローハードウッド Neonauclea maluensis	215	32	12	0,6	70	. 58	3, 9
ラーン ラーン Burckella macropoda	216	40	24	2.0	63	51	6.1
ホワイトシリス Ailanthus integrifolia	217	38	19	0	83	69	8.6
ステルクリア Sterculia parkinsonii	218	36	21	2, 3	60	47	4.7
ハードセルチス Celtis luzonica	219	34	21	2.3	61	47	4,8
ガ ラ ム ー ト Vitex cofassus	220	41	12	>10	80	69	2, 3
Ochroma pyramidale	221	24	14	0	46	26	1.4
カーメーレーレ Eucalyptus deglupta	222	36	20	0	45	33	2, 4
チ ー ク Tectona grandis	223	19	5	0	49	36	0.7
"	224				Manager 1		

注) 1)材積は $[(A+B)/4]^2 \times 3.14 \times$ 長さで示す。A, B:元口,末口の最小径

²⁾ 曲りは最大矢高を m 当りで示す。

³⁾ 偏心は 4r/D で示す。 4r: 木口中心から髓までの距離, D: 木口径 4) 木口割れは両木口面の最大幅で示す。 5) (一)は辺・心材界不明

供 試 材 の 形 状 and logs

			le log						
元口までの高さ	丸太長さ Log	直 Diamete	径 er (cm)	材積1)	曲り ²⁾	偏心 ⁸⁾ Eccen-	Width of	れ幅 ⁴⁾ end split m)	辺材幅 ⁵⁾ Width
Height to butt (m)	length (m)	元 口 Butt	末 口 Top	Volume (m³)	Crook (mm/m)	tricity of pith (%)	造材後 After bucking	製材前 Before sawing	of sapwood (cm)
5.7	10	92	79	3.8	12,8	18.9	3	6	8, 7
9.5	10	73	67	3.5	9.1	6.9	3	13	22.3
6.9	9	79	73	3, 1	9, 4	22, 2	2	5	13.5
2.2	10	51	39	1.4	7.3	8.3	2	10	()
2, 3	10	63	50	2, 2	0	5, 6	1	2	()
1.2	10	42	34	1.0	6. 1	7,6	1	2	2, 4
2, 9	4	53	49	0,7	22. 5	6.7	1	2	3, 3
3.6	8	92	83	3.9	13.1	19.0	10	23	2.8
4.6	7	63	57	1.6	23.6	12.7	4	6	2.6
3, 2	10	57	51	1,8	8.3	12.7	3	12	4,0
2.7	10	78	61	2.9	3.3	7.5	5	5	3, 3
4.3	10	59	51	1.3	3, 5	25.5	10	17	19.0
5.1	10	58	48	1.7	>30	10.2	1	10	()
1.1	10	53	44	1,4	3, 6	5.6	5	30	8.0
1.1	10	64	54	2.0	8, 3	15.5	5	5	4,0
2.8	10	62	53	2.1	1.8	46.3	3	9	4,1
8.4	10	71	69	3, 3	11.7	11.5	9	14	(-)
4.7	10	54	47	1.8	0	14.0	2	5	(-)
2.7	10	61	52	1.9	0	3, 2	0.5	2	()
4.7	5.9	80	82	1.5		26.9	3	7	3,8
3,5	10	44	26	0.7	32.0	16.0	0	15	()
0.1	10	44	34	0.9	18, 4	3, 8	0	1	4.3
0,6	3,8	45	36	0.2	0	5, 2	0	0	6.2
	5, 6	25	19	0.1	20.0	5.9	0	0	3.0

Notes) 1) Volume is given by the equation $V = [(A+B)/4]^2 \times 3.14 \times L$, in which A and B are the minimum diameter of butt and top ends respectively, and L log length.

- $2)\,\,$ Crook is given by the maximum height of deflection per meter.
- 3) Eccentricity of pith is given by $\varDelta r/D$, in which $\varDelta r$ is the distance from pith to the center of cross section, D the diameter of log.
- 4) Width of end split is given by the maximum one on both ends of log.
- 5) (-) indicates that there are no distinct boundaries between sapwood and heartwood.

もない唯一の種類で、ニューギニア北半部、ニューブリテン、ニューアイルランド、モルッカ諸島中のセラム島、スラウェシ、ミンダナオに分布する。ニューブリテンで最もよく生育し、排水のよい砂質の土壌ではしばしば純林状になる。 樹高は最大 $70\sim80$ m、 直径 $2\sim2.5$ m にもなり、生長が早いので各地で造林樹種として用いられだした。 F. A. O. の報告によると、 10 年生造林木で 250 m³/ha のパルプ原木が得られるという。 材質は生育状件等によりかなり違いがあり、 気乾比重 $0.40\sim0.84$ 、 心材の色調は淡灰褐色~桃褐色~濃暗褐色と変異の幅が大きい。

供試材 1968年から1969年にかけて植栽されたもので、 伐採時点で約7年生の樹木である。新鮮なときは辺材は淡黄白色、心材淡褐色~桃褐色、乾燥後では辺材淡灰褐色、心材褐灰色で、部分的に暗緑褐色の筋が入り、辺心材の境はあまりはっきりしない。やや光沢がある。生長輪は不明瞭。肌目の精粗は中。

23) チ - ク Tectona grandis L. f. クマツヅラ科 (供試木番号 223)

Tectona 属は3種の樹木からなるが、チーク以外は木材利用上全く重要性をもたない。チークはインド、ビルマ、タイに分布する。ジャワでは19C以来オランダ人によってチーク材が保護育成されてきたが、本来自生があったのか、人為に導入されたものかは不明とされている。ビルマおよびタイの乾季と雨季の区別が明瞭な地域の天然木が材質において最もすぐれるとされ、次のような性質をもつ:環孔材の傾向が強く、生長輪が明瞭で、それに伴い縦断面に濃色の縞が現れる;心材ははじめ暗金褐色で、しだいに濃暗褐色になる;比重中庸(気乾比重0.70前後)で、木理が通直;指でこすると油状感があり、やや機械油に似たにおいがする。チーク材のよさは耐久性がきわめて高いこと、比重の割に加工性がよく、狂いが少ないこと、強度が高いこと、落ちついた高雅な色調と、しっとりした感触をもつことなどにあるが、太平洋地域の造林木がどの程度の材質を示すかが、今後の造林の成否に影響すると思われる。

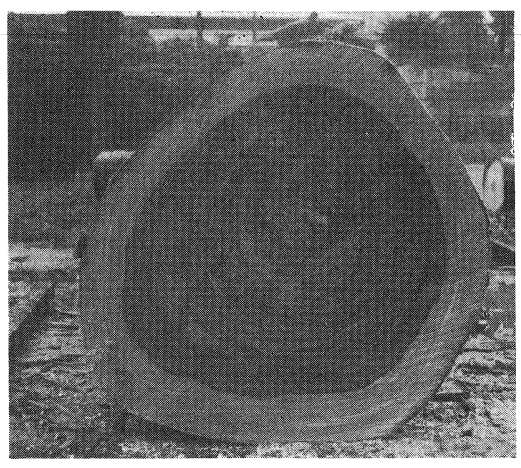
供試材 1968年から1969年にかけて植栽されたもので、伐採時点で約7年生の木である。 辺材は淡黄白色~淡黄色,心材は部分的にやや緑色を帯びた褐色~黄褐色で,中心付近は褐色が褪せ淡灰黄色を示す。 やや光沢がある。生長輪は不明瞭で、一部を除いて環孔材的傾向は示さない。 肌目の精粗は中、木理はやや交錯する。 道管に白色のチョーク様物質を含む。 油状感、特別のにおいはもたない。

2. チ - ク (供試木番号 224)

この供試木は No. 223 と同林分に生育していたものである。 た だ し、 採集時より約1か月前に伐倒され、林内に放置されていたもので、 樹高等のデータを欠く。 材質は No. 223 と同様。

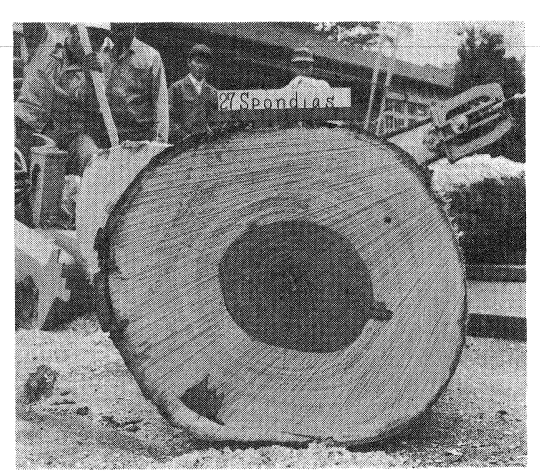
1.2 供試木,供試材の形状および配分

以上の供試木および供試材の形状を Table 2 に、また、供試材の木口断面を Photo. 1 に示す。 供試材は Fig. 2 のように各試験に配分された。

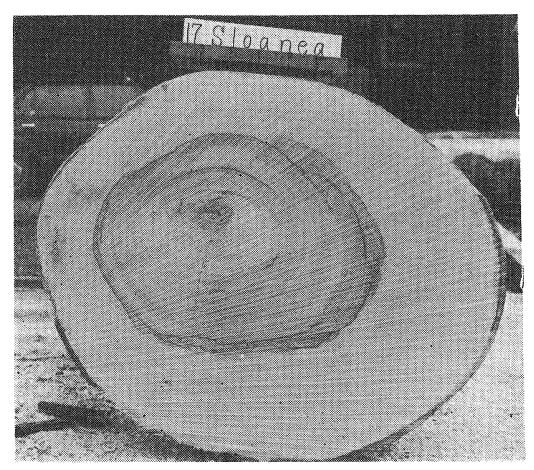


No. 201 ニューギニアウォールナット
Dracontomelon puberulum (Anacardiaceae)
辺・心材の区別明瞭で、心材は不規則な同心
円状の縞をもつ
Heartwood distinct and with irregular

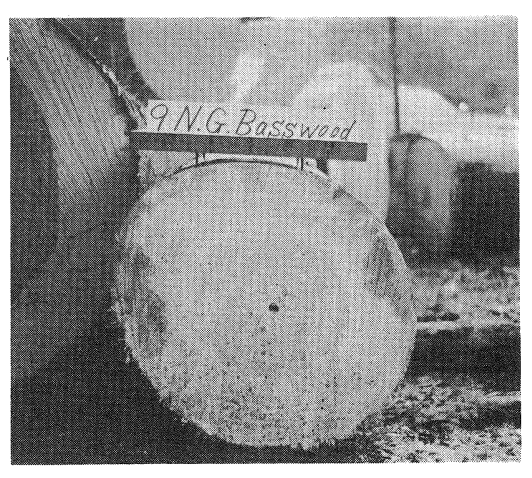
concentric darker bands.



No. 202 スポンジアス Spondias dulcis (Anacardiaceae) 濃色の中央部をもつ Wood with dark center.

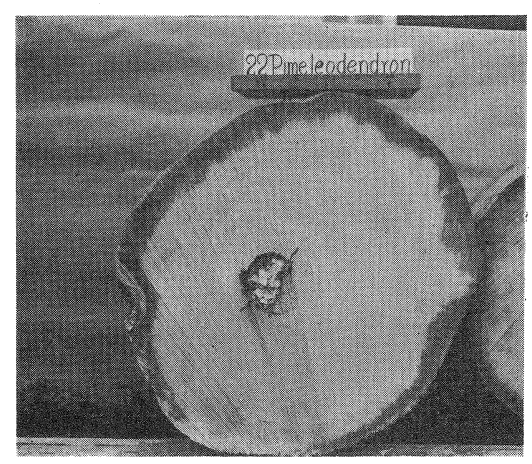


No. 203 スロアネア Sloanea insularis (Elaeocarpaceae) 辺材が広い Heartwood differentiated from wide sapwood.



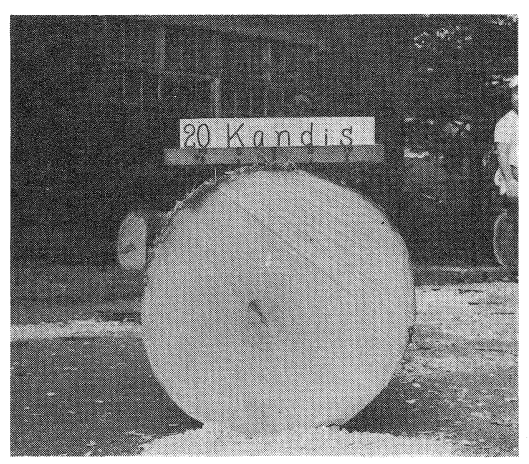
No. 204 ニューギニアバスウッド
Endospermum moluccanum (Euphorbiaceae)
辺・心材の区別不明で,周辺部が青変する
Heartwood not distinct and outer part
much blue-stained.

Photo. 1 供試材の木口断面 Cross section of sample log.



No. 205 ピメロデンドロン
Pimelodendron amboinicum (Euphorbiaceae)
辺・心材の区別不明で,周辺部が著しく青変する
Heartwood not distinct and outer part

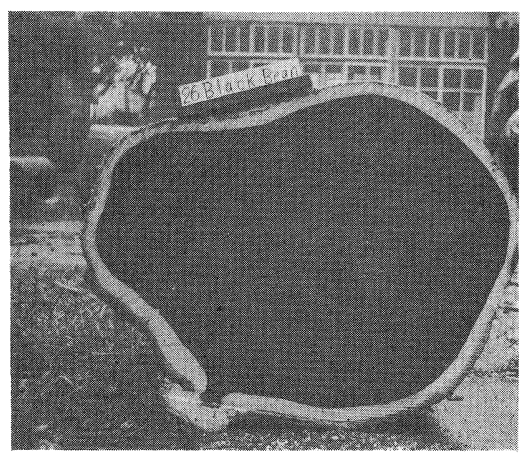
badly blue-stained.



No. 206 カンジス *Garcinia latissima* (Guttiferae) 辺・心材の区別不明で青変はほとんどない Heartwood not distinct and little bluestained.

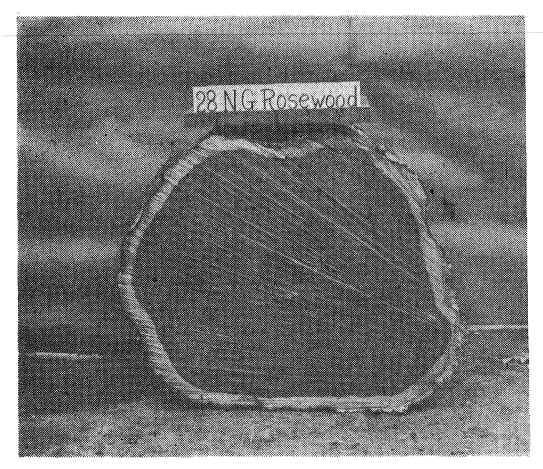


No. 207 リツェア Litsea irianensis (Lauraceae) 辺•心材の区別不明 Heartwood not clearly differentiated.

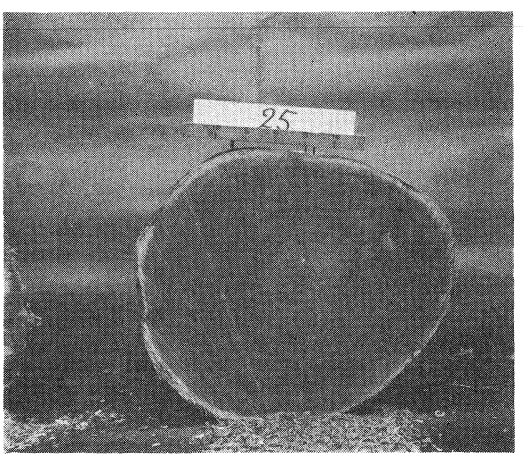


No. 208 ブラックビーン
Castanospermum australe (Leguminosae)
辺・心材の区別明瞭で辺材幅せまい
Heartwood sharply differentiated from
narrow sapwood.

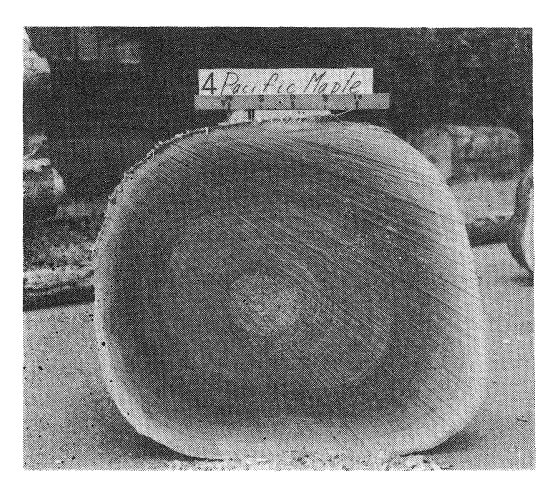
Photo. 1 (つづき) (Continued)



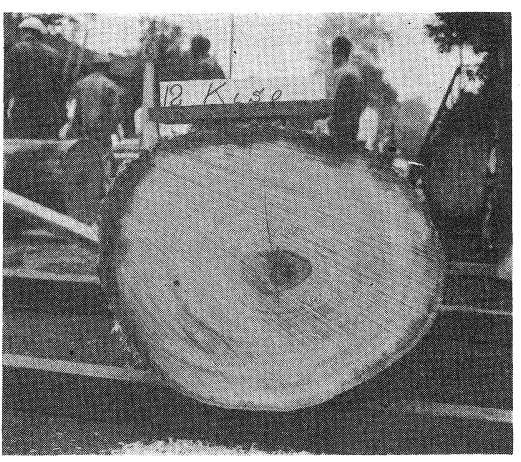
No. 209 ニューギニアローズウッド
Pterocarpus indicus (Leguminosae)
辺・心材の区別明瞭で辺材幅せまい
Heartwood sharply differentiated from
narrow sapwood.



No. 210 アグライア Aglaia litoralis (Meliaceae) 辺材は淡色で徐々に濃色の心材に移る Sapwood paler, merging gradually into darker heartwood.



No. 211 パシフィックメイプル Amoora cucullata (Meliaceae) 辺•心材の区別はあるがその境は明瞭でない Heartwood not sharply demarcated from paler sapwood.



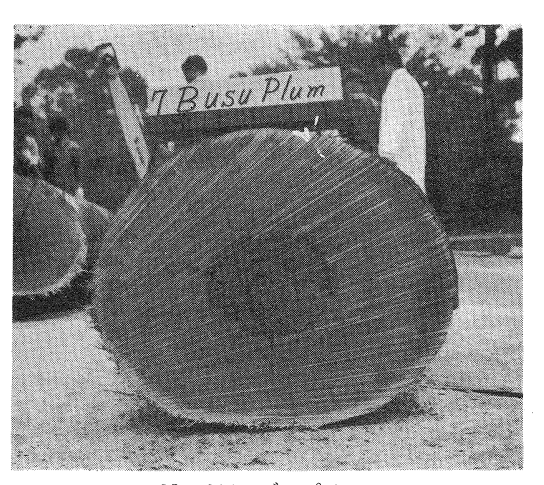
No. 212 ダイゾックス Dysoxylum arnoldianum (Meliaceae) 周辺部著しく青変し,中央部は濃色 Wood with blue-stained outer part and dark center.

Photo. 1 (つづき) (Continued)



No. 213 パラルトカルプス Parartocarpus venenosus (Moraceae) 辺・心材の区別が不明で,周辺部は著しく青 変する

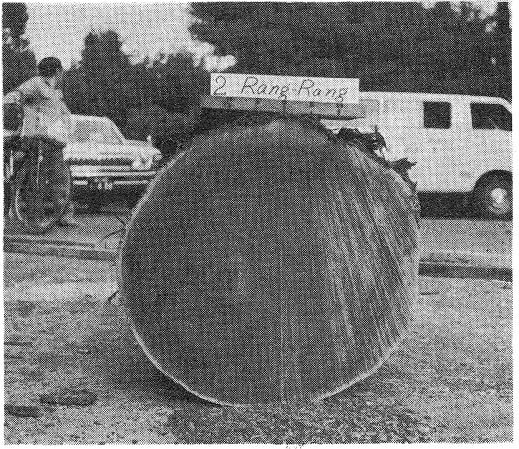
Heartwood not distinct and outer part severely blue-stained.



No. 214 ブスプラム Maranthes corymbosa (Rosaceae) 辺・心材の境は不明瞭で濃色の中央部をもつ Heartwood not sharply demarcated and with darker central part.

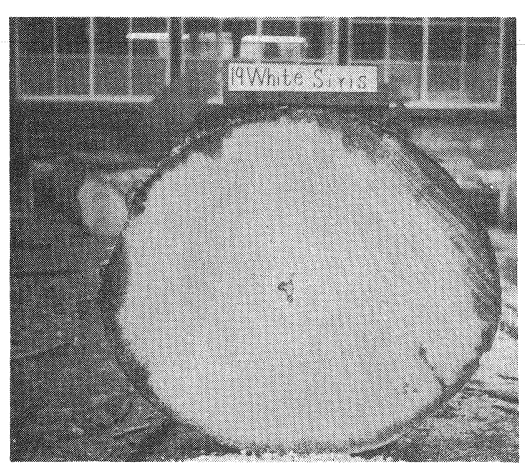


No. 215 イエローハードウッド Neonauclea maluensis (Rubiaceae) 新鮮なこの状態では辺心材の境は明瞭であるが、乾いた材では不明瞭になる Heartwood and sapwood distinct in this fresh condition, the demarcation becoming rather indistinct later.

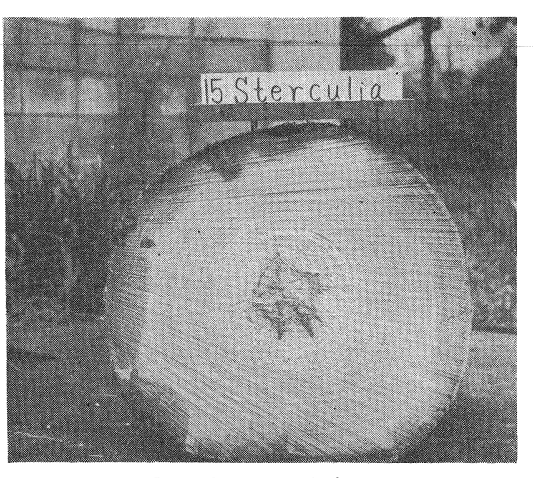


No. 216 ラ ララン
Burckella macropoda (Sapotaceae)
偏心する
Wood with eccentric pith.

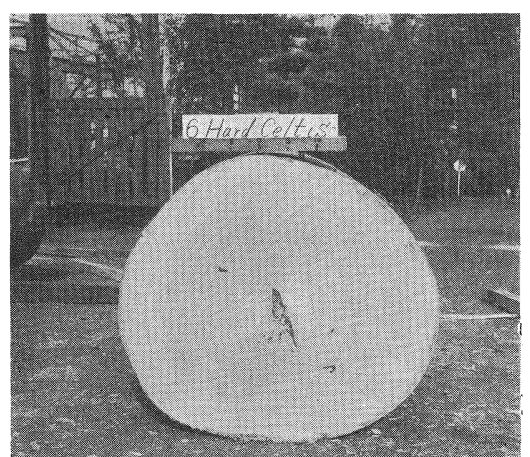
Photo. 1 (つづき) (Continued)



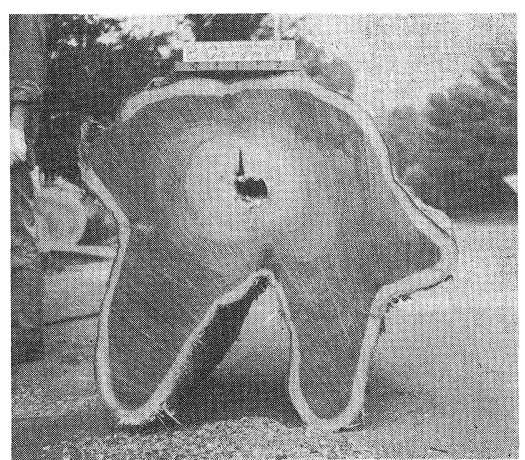
No. 217 ホワイトシリス
Ailanthus integrifolia (Simaroubaceae)
辺・心材の区別不明で、周辺部が青変する
Heartwood not distinct and outer part
much blue-stained.



No. 218 ステルクリア Sterculia parkinsonii (Sterculiaceae) 脆心材が明瞭で,周辺部は青変する Brittleheart distinct and outer part much blue-stained.

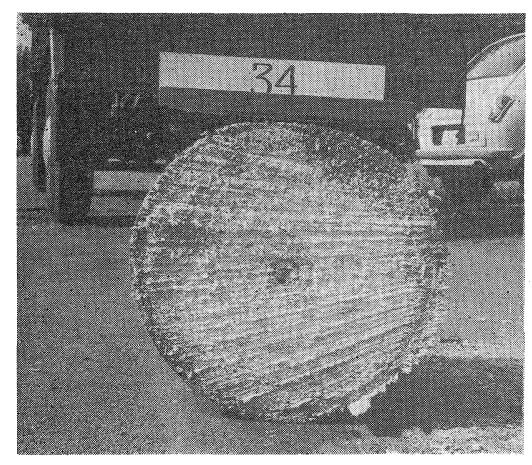


No. 219 ハードセルチス Celtis luzonica (Ulmaceae) 辺・心材の区別不明で、青変は少ない Heartwood not distinct and little bluestained.

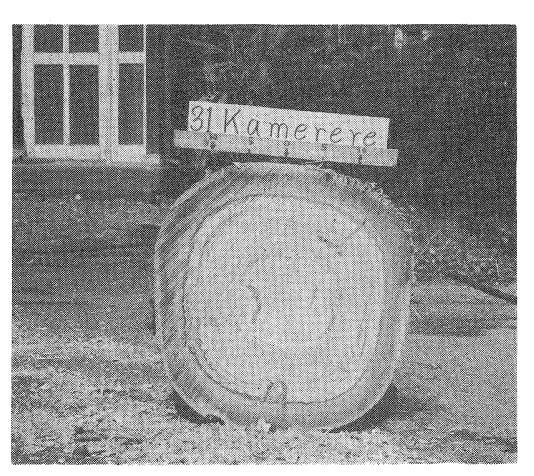


No. 220 ガラムート Vitex cofassus (Verbenaceae) 樹幹を通じ縦みぞが走る Bole very fluted through the whole trunk.

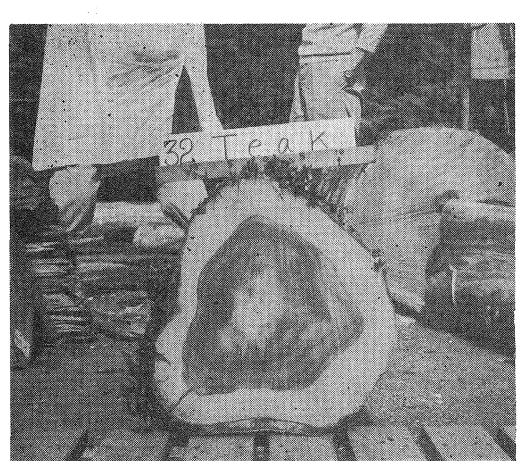
Photo. 1 (つづき) (Continued)



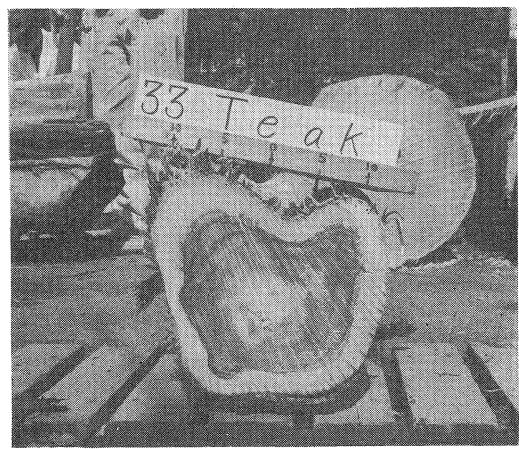
No. 221 バ ル サ Ochroma pyramidale (Bombacaceae) 材が軟らかいため、鋸断面が平滑でない Wood very soft and cut surface not smooth.



No. 222 カメレレ Eucalyptus deglupta (Myrtaceae) 不規則な濃色の筋が入る Wood with irregular dark streaks.



No. 223 チ ー ク Tectona grandis (Verbenaceae) 辺・心材の区別明瞭だが、中心は色があせる Heartwood distinct but central part discolored.



No. 224 チ - ク $Tectona\ grandia\ (Verbenaceae)$ 幹に縫みぞがある Wood fluted.

Photo. 1 (つづき) (Continued)

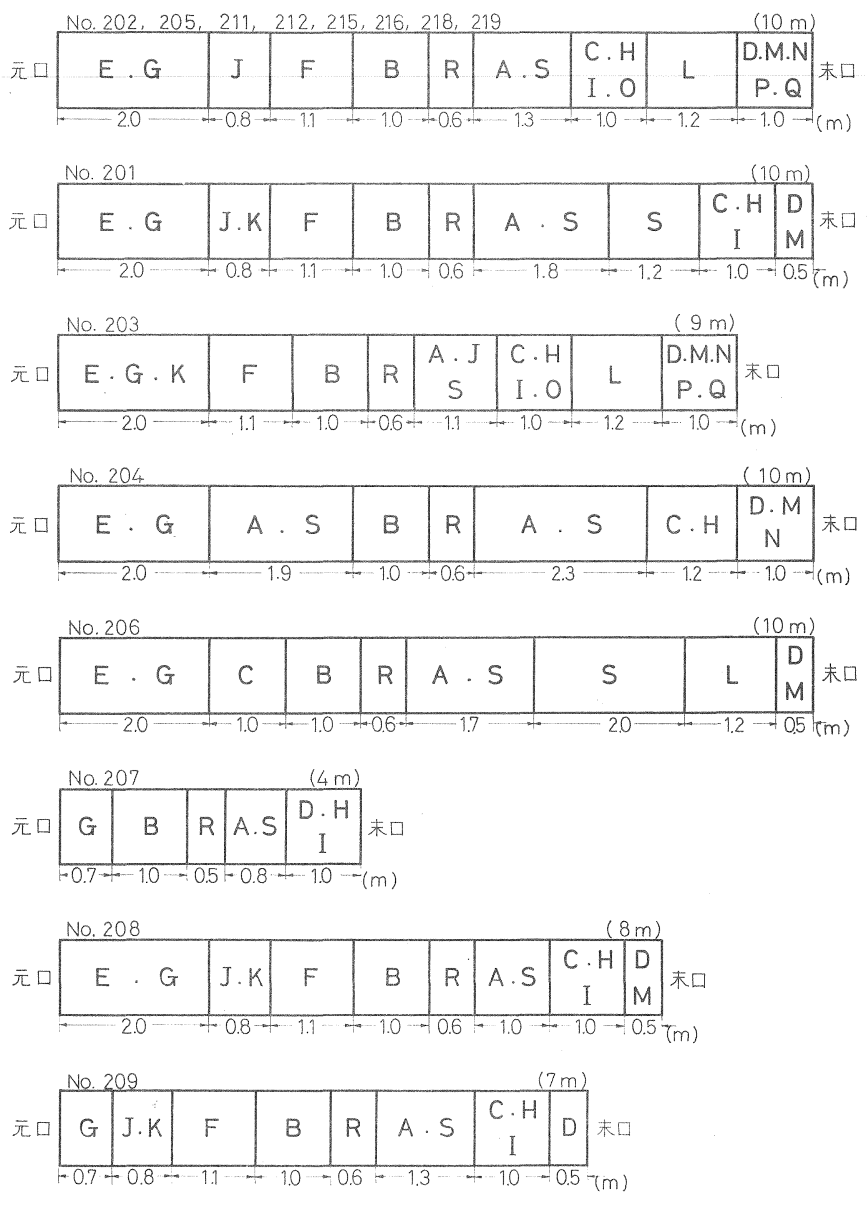


Fig. 2 供 試 材 の 配 分 Allocation of sample logs for each test.

A:交錯木理,脆心,比重,収縮。 B: 吸水性,強度。 C: 耐朽性。 D: 化学的性質(木材成分・抽出成分・変色)。 E: 鋸断。 F: 乾燥。 G: 飽削。 H: 接着。 I: 塗装。 J: 曲げ加工。 K: 釘打ち。 L: 単板切削・乾燥・接着。 M: パーティクルボード。 N: ハードボード。 O: セメント硬化障害。 P: パルプ化。 Q: 木炭製造。 R: 腰掛型標本。 S: 保存(材鑑を含む)

A: Interlocked grain, brittleheart, specific gravity, shrinkage. B: Water absorption, strength properties. C: Decay durability. D: Chemical properties (general component, extractives, chemical discoloration). E: Sawing. F: Drying. G: Planing. H: Gluing. I: Painting. J: Wood bending. K: Nailing. L: Plywood making (veneer cutting, drying, gluing). M: Particleboard making. N: Hardboard making. O: Cement hardening. P: Pulping. Q: Charcoal making. R: Log-shape sample. S: Reserved.

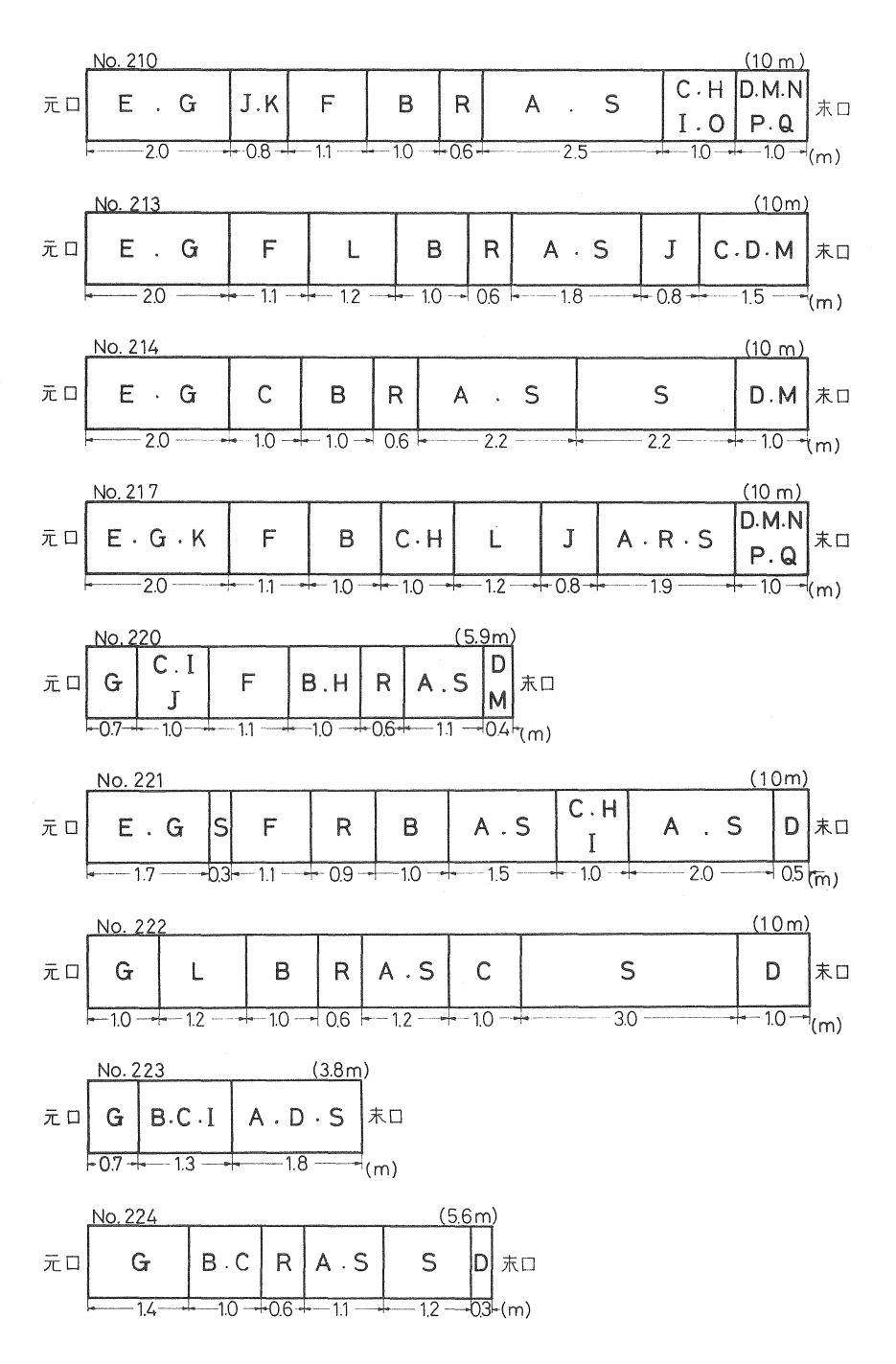


Fig. 2 (つづき) (Continued)

2. 構造および物理的性質

2.1 交錯木理, 脆心材

太田貞明(1)

2.1.1 交錯木理

樹幹内における交錯木理のあらわれかたと、交錯木理の程度を示す指標として最大繊維交錯度を用いて、供試木別(23種24個体)比較を行った。

(1) 試験方法

交錯木理測定用試験片の木取り方法,形状,寸法および繊維傾斜度の測定方法は,前報⁸⁾に示したとおりである。

(2) 結果

1) 繊維傾斜度の樹幹半径方向分布

繊維傾斜度の髄から樹皮にいたる半径方向の分布をすべての供試木について求め, Fig. 3 に示す。

繊維傾斜度の樹幹半径方向分布は、同一樹種において個体差が大きいといわれている⁷。 したがって、 今回の測定結果はそのまま、樹種の特性を示しているとはいいがたいが、樹心から樹皮にいたる繊維傾斜 度の変動のパターンはおよそ次のように分類できる。

樹心から樹皮まで、変動の 波形、 振幅がほぼ同じ傾向を 示す もの は、ニューギニアウォールナット (201)、スポンジアス (202)、スロアネア (203)、ニューギニアバスウッド (204)、ランラン (216)、ホワイトシリス (217)、バルサ (221)、カメレレ (222)、チーク (223、224)があげられる。相対距離で樹心から約 50% までは、繊維傾斜度が大きく、それ以降は多少とも小さくなるものとして、ピメロデンドロン (205) およびガラムート (220) があげられ、また逆に樹皮に近くなるにつれて繊維傾斜度が、次第に大きくなるものとしては、カンジス (206)、リツェア (207)、ブラックビーン (208)、ニューギニアローズウッド (209)、アグライア (210)、パシフィックメイプル (209)、ダイゾックス (212) およびイエローハードウッドをあげることができる。その他のもの、ステルクリア (218)、ハードセルチス (219) はこれらの区分のいずれにも属さない変動を示す。

(2) 交錯木理の大きさ

髄をとおって樹皮まで引かれた基準線にそって、繊維方向に試験片を割裂すると、反対側の材面に繊維の傾斜にそって波形があらわれる。これを、樹皮側から見て、樹幹軸に対し右上から左下方向傾斜(Z傾斜)と左上から右下への傾斜(S傾斜)とに区別し、それぞれの試験片のなかで、SとZの各最大値の和を最大繊維交錯度とした。また、脆心材部を除いた木部で標準的な傾斜パターンを示す範囲で、比較的顕著ないくつかの山・谷について高低差を求め、それらの平均値を平均繊維交錯度とした。

Table 3 に供試個体ごとの最大繊維交錯度と平均繊維交錯度を示す。 また、 最大繊維交錯度の出現頻度を東・西ニューブリテン産材について求め、その結果を Fig. 4 に示す。

今回供試した西ニューブリテン産材 24 個体について,最大繊維交錯度が 15% 以下のものを交錯木理が比較的小, $16\sim30\%$ を中, $31\sim35\%$ の場合を大,36% 以上をきわめて大と区分すると次のようになる。

⁽¹⁾ 木 材 部

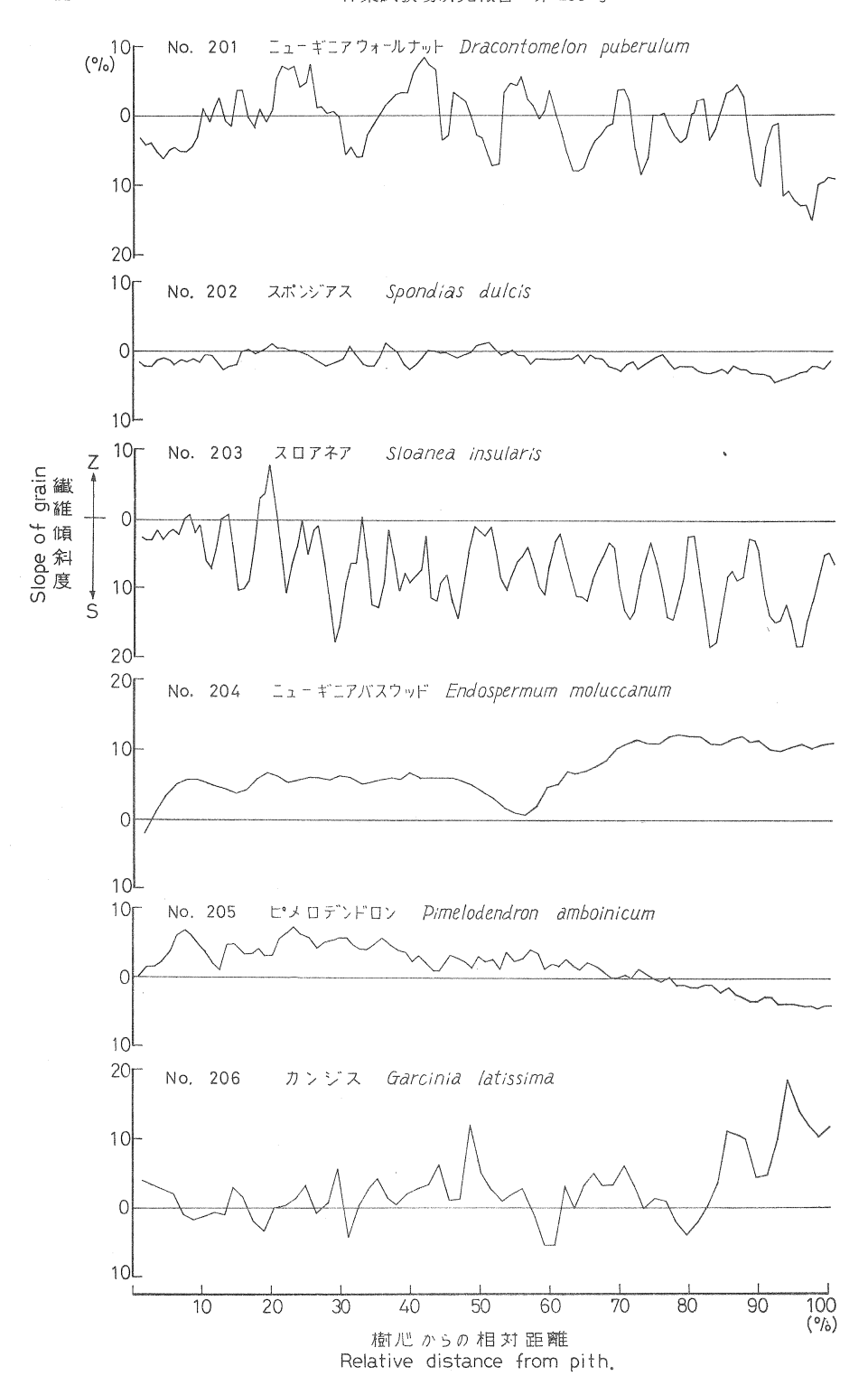


Fig. 3 繊維傾斜度の樹幹内変動 Patterns of interlocked grain in disc.

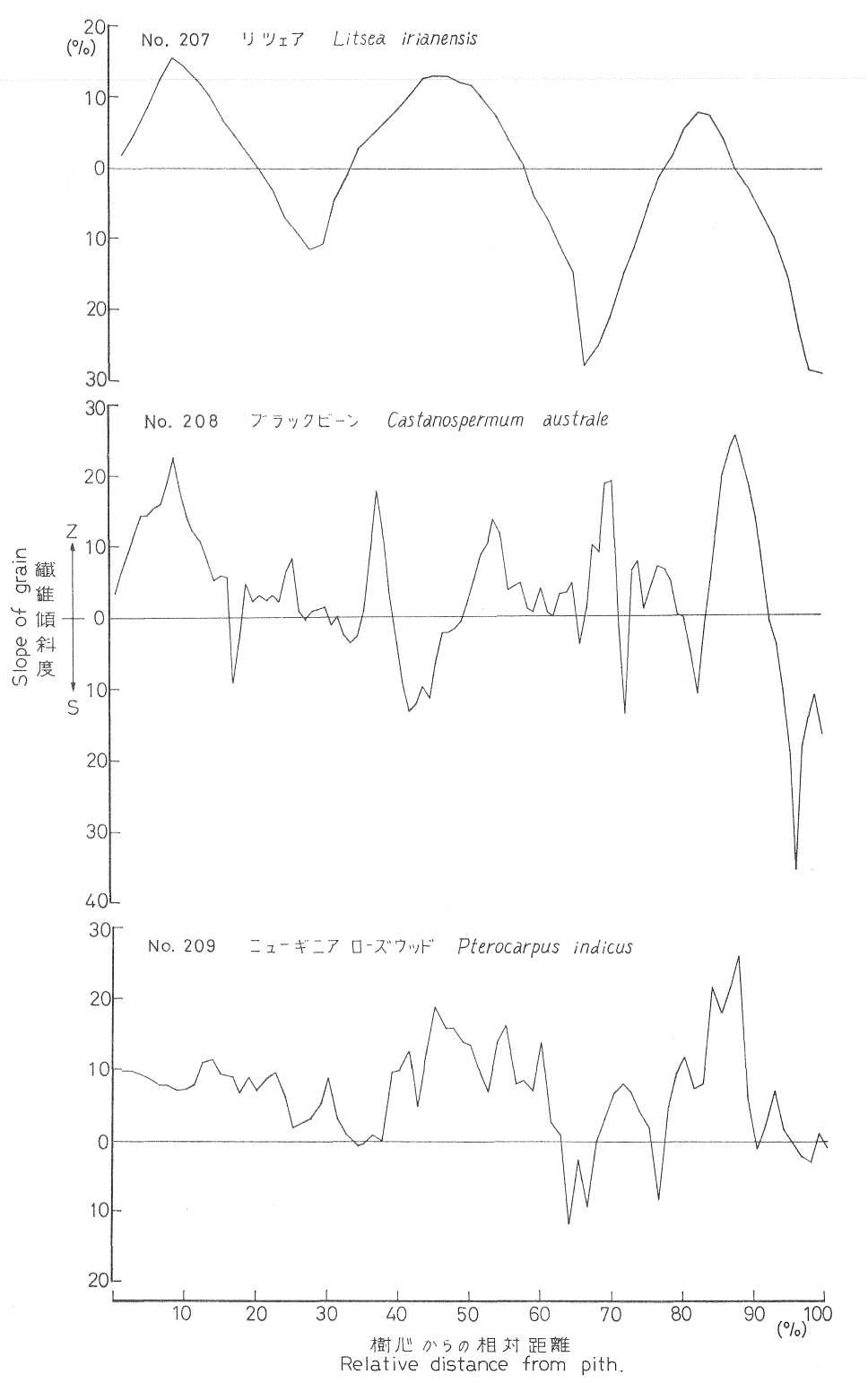


Fig. 3 (つづき) (Continued)

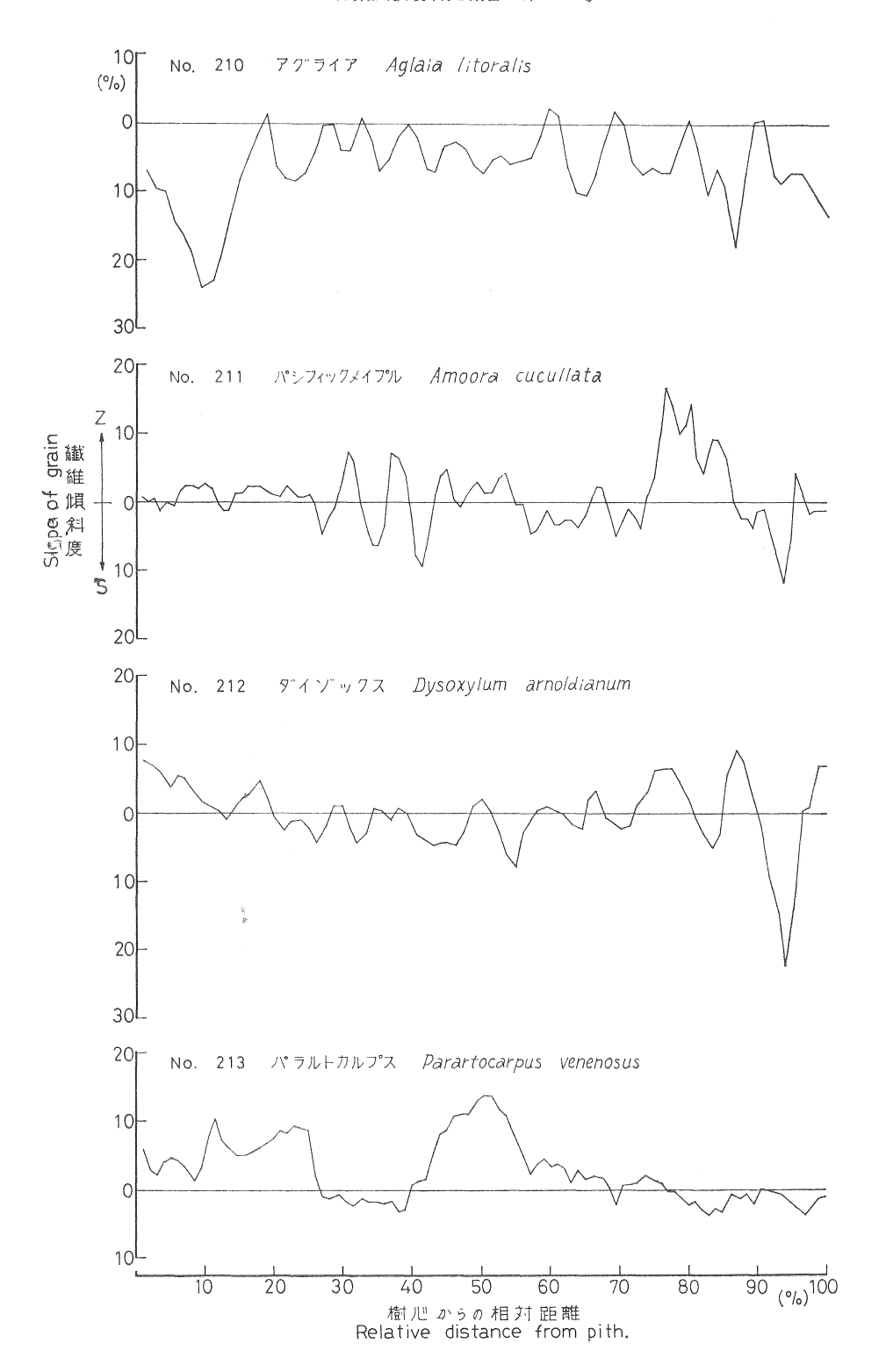


Fig. 3 (つづき) (Continued)

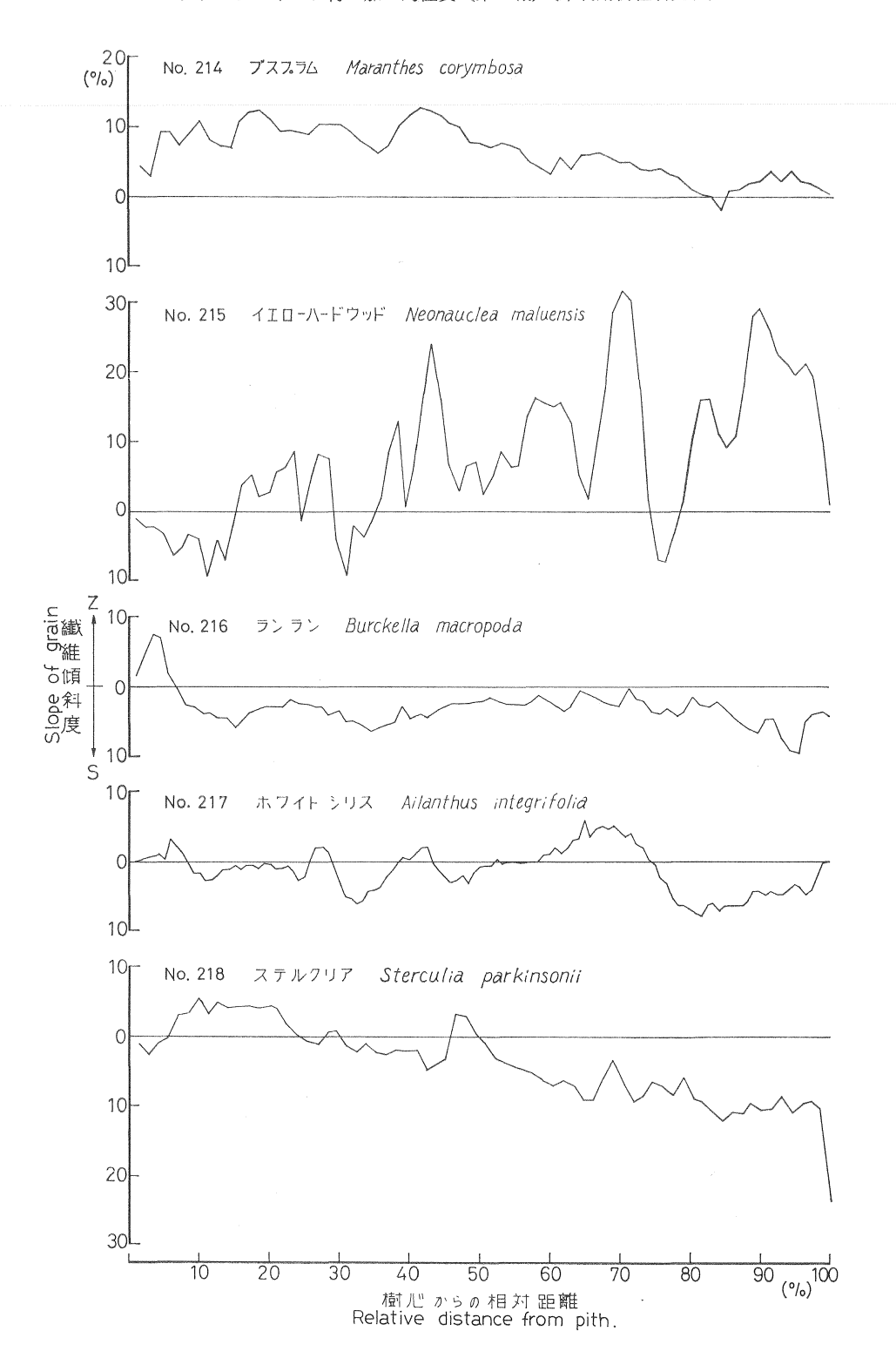


Fig. 3 (つづき) (Continued)

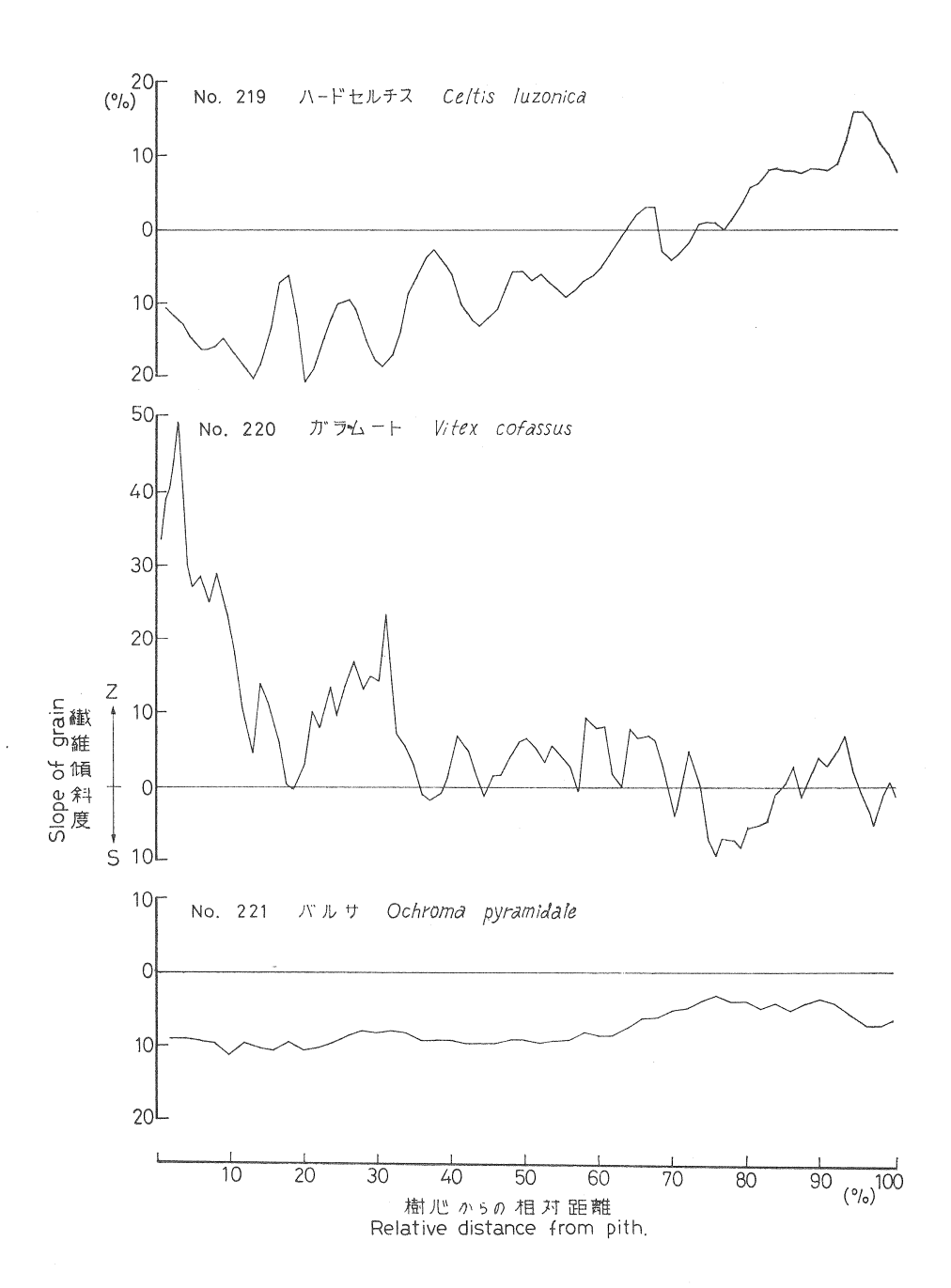


Fig. 3 (つづき) (Continued)

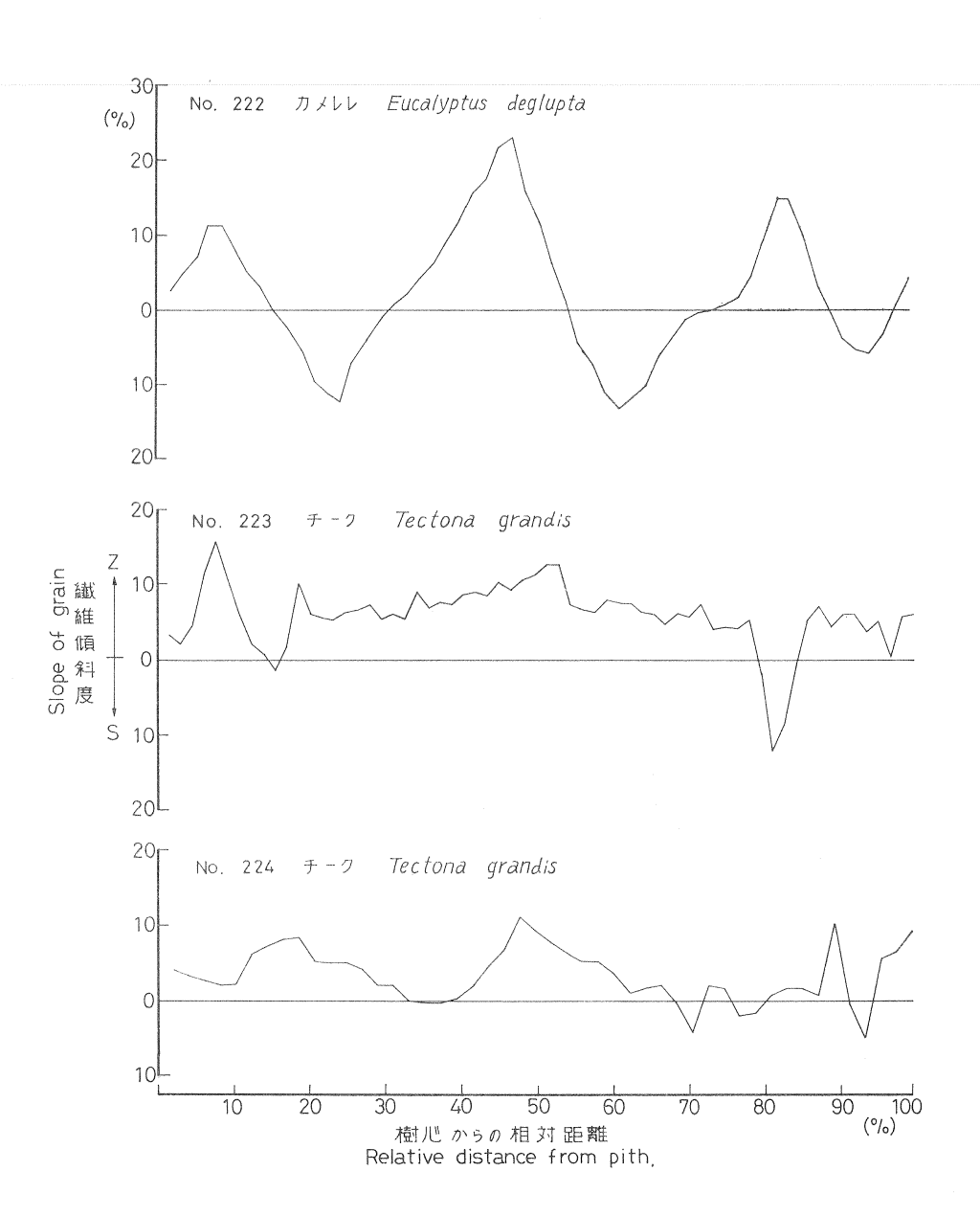


Fig. 3 (つづき) (Continued)

Table 3. 交 錯 木 理 度 Degree of interlocked grain

樹 種 Species	原木番号 Log number	最大繊維交錯度 Maximum degree of interlocked grain (%)	平均繊維交錯度 Mean value of interlocked grain (%)
ニューギニアウォールナット Dracontomelon puberulum	201	15.6	12, 8
スポンジアス Spondias dulcis	202	4.3	3, 5
スロアネア Sloanea insularis	203	18,3	13.3
ニューギニアバスウッド Endospermum moluccanum	204	11.7	7.9
ピメロデンドロン Pimelodendron amboinicum	205	6, 2	4, 2
カ ソ ジ ス Garcinia latissima	206	17.3	10.7
リ ッ ェ ァ Litsea irianensis	207	40.8	34.5
ブラックビーン Castanospermum australe	208	44.8	24, 6
ニューギニアローズウッド Pterocarpus indicus	209	34.5	18.5
ア グ ラ イ ア Aglaia litoralis	210	12.7	9. 4
パシフィックメイプル Amoora cucullata	211	28.3	14.5
ダイゾックス Dysoxylum arnoldianum	212	31.2	14.2
パラルトカルプス Parartocarpus venenosus	213	17.1	8, 5
ブスプラム Maranthes corymbosa	214	8.3	6.1
イエローハードウッド Neonauclea maluensis	215	33.6	20.5
ラ ン ラ ン Burckella macropoda	216	9.3	6.2
ホワイトシリス Ailanthus integrifolia	217	13.7	8.2
ステルクリア Sterculia parkinsonii	218	12.4	8, 2
ハードセルチス Celtis luzonica	219	19.9	11.1
ガ ラ ム ー ト Vitex cofassus	220	25.5	11.0
バ ル サ Ochroma pyramidale	221	6.6	3, 1
カ メ レ レ Eucalyptus deglupta	222	36.1	23.6
チ ー り Tectona grandis	223	24.8	12,5
"	224	15.4	11.9

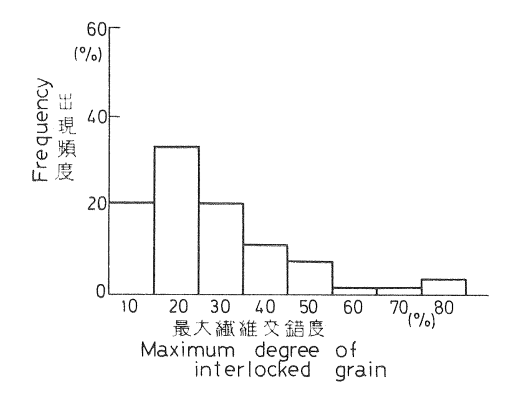


Fig. 4 東・西ニューブリテン産材の最大 繊維交錯度の頻度分布

Frequency polygon of maximum degree of interlocked grain in logs sampled at East and West New Britain.

交錯木理がきわめて大きいものとしては、ブラックビーン (208)、リツェア (207)、大としてカメレレ (222)、ニューギニアローズウッド (209)、イエローハードウッド (215)、ダイゾックス (212)、中とし ては、パシフィックメイプル (211)、ガラムート (220)、チーク (223)、ハードセルチス (219)、スロアネア (203)、カンジス (206)、パラルトカルプス (213)、チーク (224) があげられる。また、小のもの としてはニューギニアウォールナット (204)、ホワイトシリス (217)、アグライア (210)、ステルクリア (218)、ニューギニアバスウッド (204)、ピメロデンドロン (205)、スポンジアス (202) がある。

東ニューブリテン産材のなかには、最大繊維交錯度が50%以上のものが存在したが、今回の供試材においては、最大繊維交錯度が15%以下のものが全供試木の5割近くを占めており、交錯木理が比較的小さいものが多い。

スポンジアスとカメレレについて、東・西ニューブリテン産材を比較すると、スポンジアス (1 と 202) の場合には、樹幹半径方向における繊維傾斜度の分布、最大繊維交錯度ともに、両者でほとんど差異が認

Table 4. 脆 心 材 の 横 断 面 分 布 Distribution of brittleheart in each sample tree

種 樹 Species	原木番号 Log number	丸太の直径 Diameter of sample log (cm)	脆心材の直径 Diameter of brittleheart (cm)	脆心材部の 面 積 率 Cross- sectional area of brittleheart (%)
ニューギニアウォールナット Dracontomelon puberulum	201	73.0	14.0	3.7
スポンジアス Spondias dulcis	202	70.0	16.0	5.2
ス ロ ア ネ ア Sloanea insularis	203	77.0	20.8	7.3
ニューギニアバスウッド Endospermum moluccanum	204	41.8	8.0	3.7
ピメロデンドロン Pimelodendron amboinicum	205	56,8	8.2	2.1
カ ン ジ ス Garcinia latissima	206	40.2	4.8	1.4
リ ッ ェ ァ Litsea irianensis	207	49.0	6.4	1.7
ブラックビーン Castanospermum australe	208	63, 4	12.6	3.9
ニューギニアローズウッド Pterocarpus indicus	209	46,8	14.6	9.7
ア グ ラ イ ア Aglaia litoralis	210	47.5	5.5	1.3
パシフィックメイプル Amoora cucullata	211	65.0	14.6	5.1
ダイゾックス Dysoxylum arnoldianum	212	43.0	6.3	2, 2
パラルトカルプス Parartocarpus venenosus	213	54.2	11.7	4.2
ブスプラム Maranthes corymbosa	214	44.0	0	0
イエローハードウッド Neonauclea maluensis	215	52.8	8, 2	2, 4
ラ ン ラ ン Burckella macropoda	216	50.8	8.0	2.5
ホワイトシリス Ailanthus integrifolia	217	65, 2	8.2	1.6
ステルクリア Sterculia parkinsonii	218	47.0	15.0	10.2
ハードセルチス Celtis luzonica	219	48.7	12.9	7.0
ガ ラ ム ー ト Vitex cofassus	220	115.4	15.2	1.7
バ ル サ Ochroma pyramidale	221	29.0	2.7	0.9
カ メ レ レ Eucalyptus deglupta	222	33.8	4.8	2.0
チ ー ク Tectona grandis	223	29.2	2, 8	0,9
"	224	19.6	2.6	1.8

められなかった。カメレレについては、前回の供試個体(17, 18, 19)と今回の供試個体(222)とで共通して、繊維傾斜の振幅が慥から外方まで、かなり大きい。しかし、両産地の供試個体を慥から同じ距離で比較すると、今回の供試木の方が前回のものより、振幅が大きい傾向が認められた。前回のカメレレは天然木であるのに対し、今回のそれは造林木であり、生長が速いことと、樹齢が若いことなどがその原因と考えられる。

2.1.2 脆 心 材

23 樹種 24 個体について、脆心材の横断面分布を明らかにするとともに、1 横断面中に占める 脆心材部分を面積率として求め、脆心材の存在程度を比較した。

(1) 実験方法

脆心材部の測定用試験片は、偏心生長が比較的少ない部分から髄を通る直径方向に採取した。脆心材部の観察や脆心材界の決めかたは前報³⁾の通りである。

(2) 結果

全供試木について、供試部位の丸太の径、脆心材断面の径および面積率を求め、 Table 4 に示す。

脆心材の面積率は、ブスプラム (214) の 0% からステルクリア (218) の 10.2% の範囲にあった。 今回の西ニューブリテン産材では、脆心材部が比較的少ない (面積率で 6 %以下) 個体が全供試材の 8 割近くを占めている。ちなみに、前回の東ニューブリテン産材では、エボジア (22)、エリマ (8)、カロフィルム (11)、タウン (26) など、脆心材の面積率が比較的大きい (15%以上) ものがかなりあった。

2.2 生材含水率および生材比重

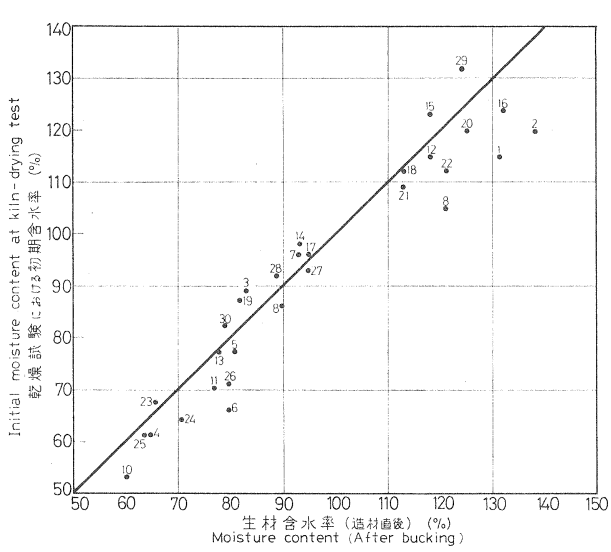


Fig. 5 造材直後の生材含水率と乾燥試験に おける初期含水率との関係 Relationship between moisture content

in green wood after bucking and initial moisture content at kiln-drying test.

中野達夫(1)。佐藤庄一(2)

前回の供試木について、伐倒直後 円板を採取し測定した生材含水率と 乾燥試験における初期含水率との関 係を Fig. 5 に示す。これによると 両者はかなりよく一致し、運搬など により2か月を経過しても材長9 m の場合には含水率の低下はかなり小 さいことが明らかである。したがっ て、今回の供試木についてはひき材 の乾燥試験における初期含水率を生 材含水率とみなし、これをもとに、 生材容積当たり含水量、生材比重を 求めた。結果を Table 5 に示す。

生材含水率は、ハードセルチス (219) が61%で最も小さく、スロアネア (203) が160%で最も大きく供試木により著しく異なる。

Table 5. 生材含水率および容積密度数変動比 Moisture content of green wood and ratio of bulk density

Moisture content of green wood and ratio of bulk density										
樹 種 Species	原木番号 Log number	生材含水率 Moisture content of green wood (%)	生材容積当り 含 水 量 Amount of moisture per volume of green wood (g/cm³)	生材比重 Specific gravity of green wood	容積密度数 変動比* Ratio of bulk density* (R ₂₀ /R ₈₀)					
ニューギニアウォールナット Dracontomelon puberulum	201	112 (101∼129)	0.55	1.00 (0.90~1.10)	0.73					
スポンジアス Spondias dulcis	202	104 (88∼123)	0.31	0.66 (0.60∼0.72)	0.95					
ス ロ ア ネ ア Sloanea insularis	203	160 (142∼177)	0.60	1.01 (0,93∼1,13)	0.82					
ニューギニアバスウッド Endospermum moluccanum	204				0, 82					
ピメロデンドロン Pimelodendron amboinicum	205	79 (67∼ 87)	0.43	1.02 (0.93~1.06)	1.01					
カーン ジース Garcinia latissima	206	MARKET	MATERIAL TO	water rese	1.03					
ון יין ד ד Litsea irianensis	207	Material		-	0.87					
ブラックビーン Castanospermum australe	208	121 (115∼126)	0.62	1.19 (1.17~1.20)	0.93					
ニューギニアローズウッド Pterocarpus indicus	209	99 (96~108)	0.58	1.18 (1.17~1.19)	0.84					
ア グ ラ イ ア Aglaia litoralis	210	74 (71~ 79)	0.45	1.14 (1.10~1.19)	0.81					
パシフィックメイプル Amoora cucullata	211	104 (94~123)	0,44	0.85 (0.75~1.07)	0.94					
ダイゾックス Dysoxylum arnoldianum	212	110 (92~130)	0.42	0.75 (0.67~0.83)	0.96					
パラルトカルプス Parartocarpus venenosus	213	116 (110~124)	O. 41	0.77 (0.72~0.80)	0.85					
ブ ス プ ラ ム Maranthes corymbosa	214	pro	energete (in	man der für	0, 91					
イエローハードウッド Neonauclea maluensis	215	98 (90~111)	0,55	1.17 (1.13~1.21)	0.94					
ラーソーラーン Burckella macropoda	216	97 (.81∼115)	0, 57	1.19 (1.16∼1.23)	0.75					
ホワイトシリス Ailanthus integrifolia	217	84 (72~100)	0, 26	0.61 (0.58~0.64)	0.91					
ステルクリア Sterculia parkinsonii	218	77 (69~ 95)	0. 23	0.52 (0.41~0.60)	0.31					
ハードセルチス Celtis luzonica	219	61 (54~ 69)	0.34	0.88 (0.85~0.90)	0.75					
ガ ラ ム ー ト Vitex cofassus	220	94 (81~102)	0,52	1.05 (0.84~1.18)	0.80					
バ ル サ Ochroma pyramidale	221	113 (106~116)	0.11	0.18 (0.15~0.24)	0.95					
カ メ レ レ Eucalyptus deglupta	222			mention of the	0.83					
チ ー ク Tectona grandis	223	adolestica.		add PTP Fill and	0, 86					
"	224	функция		Morrowski	0.87					

注) * 樹心からの相対距離20%における容積密度数 (R_{20}) と80%におけるそれ (R_{80}) との比Note) * Ratio of bulk density at 20% of radius from pith (R_{20}) to that at 80% of radius (R_{80}) .

生材容積当たり含水量はバルサ (221) が $0.11\,\mathrm{g/cm^3}$ で最も小さく, ブラックビーンが $0.62\,\mathrm{g/cm^3}$ で最も大きい。

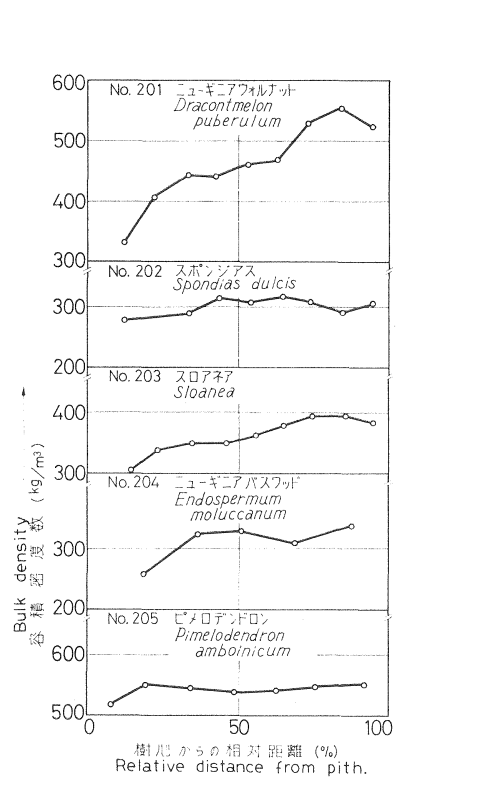
生材比重はブラックビーン,ランラン(216)がともに 1.19 で最も大きく,バルサ が 0.18 で最も小さい。これらのうち,ニューギニアウォールナット(201),スロアネア(203),ピメロデンドロン(205),ブラックビーン,ニューギニアローズウッド(209),アグライア(210),イエローハードウッド(215),ランラン,ガムラート(220)の生材比重は 1 より大きく,沈木である。

2.3 比重および収縮率

2.3.1 容積密度数の半径方向の変動

中野達夫

容積密度数の樹幹横断面の樹心から外周にわたる変動を Fig. 6 に示す。この図によれば、各供試木の容積密度数は樹心から外周に向かって大きくなるものがほとんどであるが、この傾向からはずれるものも認められる。パラルトカルプス (213)、バルサ (221) の容積密度数は樹心から外周に向かって、はじめ減少してから増加する傾向を示すほか、ブラックビーン (208)、チーク (224) はかなり複雑な変動を示す。また、ブスプラム (214) の容積密度数は樹心部で著しく低いが、その他の材部ではほぼ一定値を示す。これら各供試木の樹心から周辺にわたる容積密度数の変動幅を容積密度数 50 kg/cm^3 階に分けて次



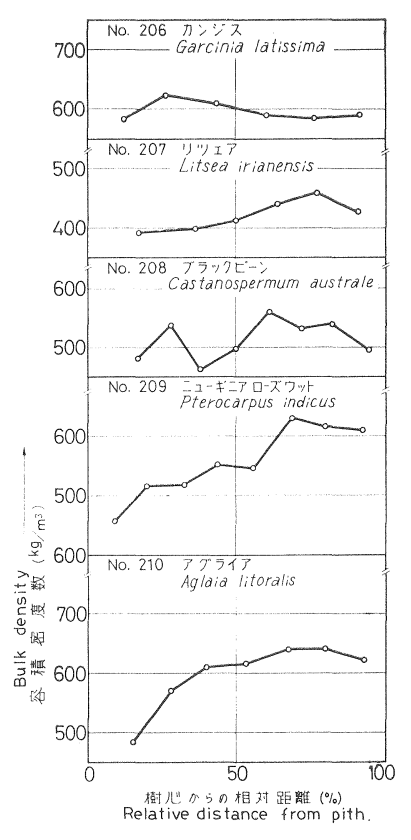
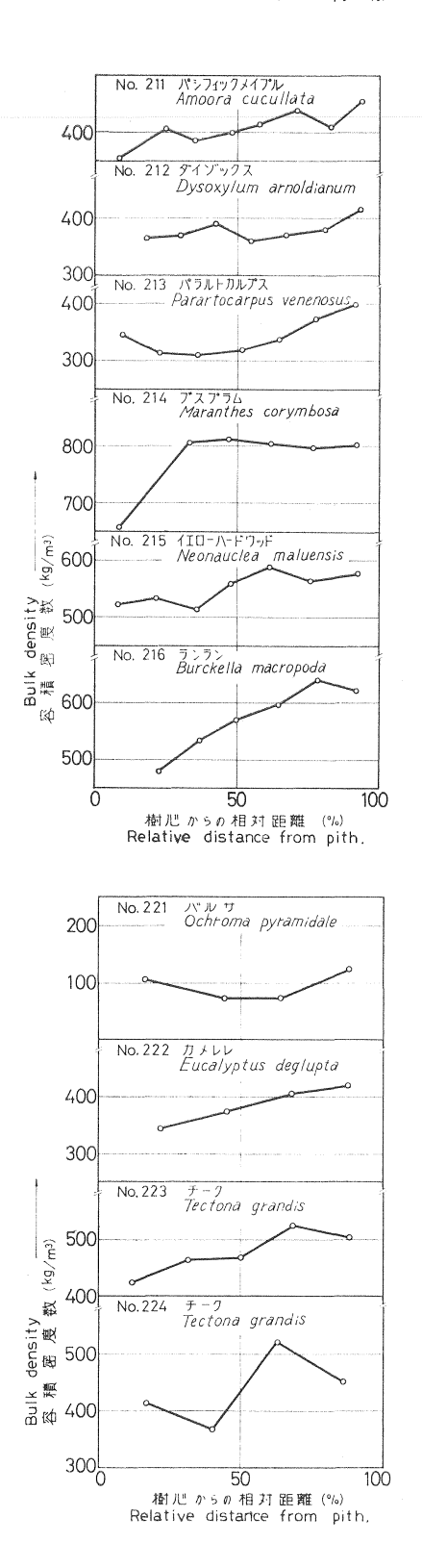


Fig. 6 容積密度数の木口半径方向の変動 Variation of bulk density from pith to bark.



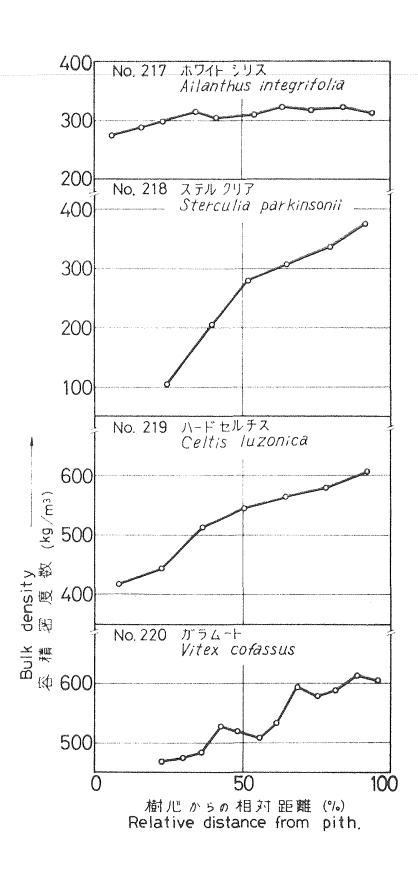


Fig. 6 (つづき) (Continued)

Table 6. 供試木べつの容積密度数, Specific gravities and shrinkages

		試料数	容積密度数	The state of the s		The second section of the second section is a second section of the sectio	29
樹 種 Species	原木 番号 Log num-	Num- ber of	Bulk density R	比 Specific	重 gravity		%当り平均 e per unit
•	ber	spec- imens		r_0	r_{15}	t	r
ニューギニアウォールナット Dracontomelon puberulum	201	9	494 (464) 333~555	0.55 (0.51) 0.36~0.63	0. 59 (0. 55) 0. 39~0. 67	0. 265 (0. 260) 0. 225~0. 291	0.159 (0.151) 0.119~0.179
スポンジアス Spondias dulcis	202	8	301 (304) 280~319	0.33 (0,34) 0,32~0,36	0.36 (0.37) 0.35~0.39	0.199 (0.203) 0.178~0.227	0.113 (0.119) 0.073~0.143
スロアネア Sloanea insularis	203	9	372 (363) 309~397	0.42 (0.41) 0.35~0.45	0.46 (0.44) 0.37~0.49	0. 261 (0. 262) 0. 251~0. 276	0.145 (0.145) 0.135~0.152
ニューギニアバスウッド Endospermum moluccanum	204	5	320 (312) 259~339	0.36 (0.35) 0.28~0.38	0.39 (0.38) 0.31~0.41	0.265 (0.273) 0.242~0.312	0.139 (0.137) 0.106~0.159
ピメロデンドロン Pimelodendron amboinicum	205	7	543 (541) 522~549	0.62 (0.61) 0.59~0.62	0.66 (0.66) 0.63~0.67	0. 297 (0. 299) 0. 296~0. 305	0.165 (0.167) 0.146~0.187
カ ン ジ ス Garcinia latissima	206	6	593 (597) 584~623	0.70 (0.70) 0.68~0.74	0.73 (0.74) 0.72~0.77	0. 391 (0. 387) 0. 323~0. 416	0. 201 (0, 208) 0, 195~0, 227
リッェア Litsea irianensis	207	6	427 (424) 395~462	0.48 (0.48) 0.44~0.52	0.52 (0.51) 0.48~0.56	0.272 (0.271) 0.253~0.298	0.155 (0.159) 0.140∼0.174
ブラックビーン Castanospermum australe	208	7	510 (517) 462~560	0. 58 (0. 60) 0. 54~0. 69	0.62 (0.64) 0.59~0.73	0.248 (0.267) 0.186~0.340	0.160 (0.172) 0.122~0.243
ニューギニアローズウッド Pterocarpus indicus	209	8	583 (555) 455~630	0. 63 (0. 60) 0. 49~0. 68	0. 69 (0. 65) 0. 54~0. 74	0. 229 (0. 225) 0. 208~0. 242	0.139 (0.139) 0.125~0.156
ア グ ラ イ ア Aglaia litoralis	210	7	613 (597) 483~638	0.70 (0.68) 0.55~0.72	0.74 (0.72) 0.59~0.77	0.305 (0.308) 0.286~0.318	0.197 (0,199) 30,182~0,218
パシフィックメイプル Amoora cucullata	211	8	419 (408) 356~454	0.49 (0.48) 0.43~0.52	0.53 (0.51) 0.45~0.57	0. 244 (0. 253) 0. 219~0. 320	0.177 (0,191) 0.159~0,265
ダイゾックス Dysoxylum arnoldianum	212	7	381 (379) 362~414	0.43 (0.43) 0.41~0.45	0.46 (0.46) 0.44~0.49	0. 241 (0, 252) 0. 223~0. 309	0.137 (0.151) 0.107∼0.192
パラルトカルプス Parartocarpus venenosus	213	7	355 (343) 308~400	0.40 (0.38) 0.34~0.45	0.43 (0,42) 0.37~0.49	0.265 (0.260) 0.229~0.282	0.144 (0.142) 20.132~0.151

比重および収縮率 of each sample tree

収	縮 率 (%	Shrink	tage						
収縮率(δ) moisture	生材から気 Shrinkage	乾状態までの from gree)収縮率(æ ₁₅) n to air-dry	全 収 縮 率 (a) Shrinkage from green to oven-dry					
l	t	r	l	t	r	I	v		
0.010 (0.010) 0.008~0.012	2. 9 (2. 8) 2. 4~3. 7	1.0 (1.0) 0.7~1.4	0.00 (-0.01) -0.04~0.05	6.8 (6.6) 5.7~7.9	3.4 (3.2) 2.5~4.0	0.15 (0.14) 0.08~0.20	9.9 (9.6) 7.9~11.5		
0.026 (0.025) 0.016~0.038	3.7 (4.1) 1.4~5.9	1.3 (1.4) 0.5~1.8	0.18 (0.16) 0.03~0.38	6.5 (7,0) 4,0∼8.7	2.9 (3.1) 1.5~3.9	0.57 (0,53) 0,27~0.95	9.0 (9.7) 5.5~11.4		
0.011 (0.010) 0.008~0.014	4.3 (4.3) 3.5~5.4	1.4 (1.4) 1.2~1.7	0. 05 (0. 03) -0. 03~0. 22	8.1 (8.1) 7.2~9.3	3. 6 (3. 5) 3. 2~3. 9	0.21 (0.19) 0.10~0.38	11.4 (11.4) 10.5~13.1		
0.025 (0.022) 0.010~0.030	3.5 (3.5) 2.8~3.9	1.4 (1.3) 0.8~1.5	0.16 (0.11) -0.01~0.26	7. 3 (7. 4) 6. 3~8. 3	3.4 (3.3) 2.3~3.7	0. 52 (0. 44) 0. 13~0. 70	10.4 (10.2) 7.4~11.9		
0.011 (0.014) 0.008~0.026	3.8 (3.8) 3.5~4.2	1.4 (1.4) 1.1~1.6	0.04 (0.07) 0.01~0.19	8.1 (8.1) 7.8~8.5	3. 9 (3. 8) 3. 4~4. 4	0. 20 (0. 28) 0. 13~0. 58	11.8 (11.8) 11.3~12.3		
0.008 (0.008) 0.005~0.013	4.6 (4.5) 3.9~5.0	1. 9 (2.0) 1.6~2.9	0. 04 (0. 04) 0. 02~0, 07	10. 2 (10. 0) 10. 8~8. 6	4.9 (5.1) 4.5~6.1	0.17 (0.16) 0.10~0.27	14.7 (14.7) 14.0~15.7		
0.011 (0.011) 0.009~0.013	3.6 (3.7) 3.5∼4.0	1.4 (1.4) 1.1~1.7	0.00 (0.01) -0.02~0.06	7. 5 (7. 6) 7. 4~7. 8	3.7 (3,8) 3.2~4.3	0.16 (0,17) 0,12~0,25	10.9 (11.0) 10.5~11.5		
0.007 (0.007) 0.003~0.010	4.0 (5.0) 1.6~10.3	1.8 (2.2) 0.9~5.8	0.04 (0.03) 0.00~0.08	7. 6 (8. 7) 5. 1~14. 9	4.1 (4.7) 3.0~9.3	0.14 (0.14) 0.05~0.22	11.3 (12.9) 7.8~22.6		
0.011 (0.011) 0.008~0.014	1.5 (1.5) 1.2~1.8	0.8 (0.8) 0.6~0.9	0.00 (-0.01) -0.05~0.02	4.8 (4.9) 4.4~5.3	2.8 (2.9) 2.7~3.3	0.16 (0.16) 0.10~0.20	7. 6 (7. 6) 7. 0~8. 1		
0.014 (0.013) 0.010~0.017	3.1 (3.3) 2.7~3.9	1.6 (1.6) 1.4~1.8	0.08 (0.06) -0.01~0.15	7. 5 (7. 8) 6. 9~8. 4	4.5 (4.6) 4.1~5.0	0.29 (0, 26) 0, 13∼0, 37	11.7 (12.1) 11.4~13.0		
0.007 (0.008) 0.005~0.013	6.1 (5.9) 4.8∼7.1	2. 2 (2. 3) 2. 0~3. 0	0. 04 (0. 04) 0. 03~0. 07	9.6 (9.5) 8.0~10.7	4.8 (5.1) 4.5~6.8	0.16 (0.17) 0.10~0.25	13.8 (14.0) 12.8~16.3		
0.009 (0.010) 0.008~0.013	3.3 (3.8) 2.2~5.2	1.4 (1.6) 1.0~2.6	0. 07 (0. 06) 0. 02(0, 18)	6.8 (7.4) 5.7∼9.6	3.4 (3.9) 2.6∼5.3	0.17 (0.18) 0.10~0.23	10.1 (11.0) 8.4~13.6		
0.010 (0.010) 0.008~0.015	4.0 (3.9) 3.4~4.2	1.8 (1.7) 1.6~2.0	0. 04 (0. 03) 0. 02~0. 05	7.8 (7.6) 6.7~8.2	3.9 (3.8) 3.6∼4.2	0.18 (0.19) 0.15~0.27	11. 2 (11. 0) 10. 2~11. 9		

Table 6. (つづき) (Continued)

樹 種 Species	原木 番号 Log num-	試料数 Num- ber of spec-	容積密度数 Bulk density R	比 Specific	比 重 Specific gravity		含水率 1 %当り平均 Shrinkage per unit content	
	ber	imens	(kg/m³)	r_0	r ₁₅	t	r	
ブスプラム Maranthes corymbosa	214	6	798 (783) 661~816	0.99 (0.97) -0.79~1.02	1.02 (1.00) 0.82~1.04	0.401 (0.397) 0.354~0.420	0.337 (0.329) 0.277~0.354	
イエローハードウッド Neonauclea maluensis	215	7	565 (553) 514∼589	0.64 (0.63) 0.57~0.67	0.68 (0.67) 0.62~0.71	0.333 (0.325) 0.288~0.351	0.191 (0.189) 0.162~0.203	
ラ ン ラ ン Burckella macropoda	216	6	585 (573) 481∼638	0.67 (0.66) 0.55∼0.74	0.72 (0,71) 0.59~0.79	0.301 (0.302) 0.278~0.319	0.185 (0.183) 0.157~0.197	
ホワイトシリス Ailanthus integrifolia	217	10	315 (307) 274~324	0.35 (0.34) 0.30~0.36	0.38 (0,37) 0,33~0,39	0.261 (0.243) 0.196~0.289	0.168 (0.154) 0.113~0.180	
ステルクリア Sterculia parkinsonii	218	5	301 (303) 207~379	0. 34 (0. 34) 0. 23~0. 42	0. 36 (0. 37) 0. 25~0, 45	0. 236 (0. 241) 0. 199~0. 273	0.129 (0.130) 0.091~0.153	
ハードセルチス Celtis luzonica	219	7	560 (526) 422~611	0.64 (0.60) 0.48~0.69	0.68 (0.64) 0.51~0.74	0.330 (0.319) 0.267~0.345	0.173 (0,168) 0.144~0,188	
ガ ラ ム ー ト Vitex cofassus	220	12	553 (543) 472~617	0.62 (0.61) 0.53~0.70	0.66 (0.65) 0.57~0.74	0. 302 (0. 302) 0. 280~0. 320	0.174 (0,175) 0.155~0.189	
バ ル サ Ochroma pyramidale	221	4	99 (96) 76~126	0.10 (0.10) 0.08~0.13	0.12 (0.12) 0.09~0.15	0.117 (0.117) 0.098~0.136	0.053 (0.055) 0.037~0.069	
カ メ レ レ Eucalyptus deglupta	222	4	394 (387) 347~418	0.44 (0.43) 0.38~0.47	0.48 (0.47) 0.42~0.51	0. 231 (0. 232) 0. 227~0, 241	0.144 (0.139) 0.119~0.160	
チ ー ク Tectona grandis	223	5	494 (478) 423~525	0.53 (0.51) 0.45~0.56	0.58 (0.56) 0.50~0.62	0.203 (0.199) 0.181~0.213	0.094 (0.094) 0.087~0.104	
. "	224	4	451 (440) 372~521	0.50 (0.49) 0.41~0.57	0.54 (0.53) 0.44~0.62	0.300 (0.290) 0.253~0.331	0.152 (0.153) 0.119~0.179	

注) r₀:全乾比重

r₁₅: 気乾比重 t:接線方向

r: 半径方向

l:軸 方 向

上段太字:各試片が代表する円板中の面積を重みとした平均値

中段()内:算術平均値下段:最小値~最大値

収;	縮 率 (%) Shrink	age				
収縮率(δ) moisture	生材から気 Shrinkage	乾状態までの from green	収縮率(a ₁₅) ı to air-dry		全 収 kage from p	縮 率 (α) green to over	
1	t	r	l	t	r	l	v
0. 018 (0. 018) 0. 014~0. 021	5.9 (5.9) 5.1∼6.7	3.8 (3.7) 3.1~4.4	0.09 (0.08) 0.03~0.14	11.5 (11.5) 10.1~12.6	8.7 (8.5) 7.1∼9.3	0. 36 (0, 35) 0, 25~0, 45	19.4 (19.2) 16.5~21.0
0.021 (0.019) 0.012~0.031	3.5 (3.4) 3.0~3.6	1.4 (1.4) 1.2~1.5	0.12 (0.10) 0.02~0.27	8.3 (8.1) 7.2~8.7	4.2 (4.2) 3.6~4.5	0.43 (0.39) 0.20~0.74	12.1 (12.0) 10.4~12.6
0.027 (0.029) 0.024~0.038	4.5 (4.5) 4.1~4.9	1.8 (1.8) 1.5~2.1	0.09 (0.10) 0.05~0.13	8.8 (8.9) 8.3~9.3	4.5 (4.5) 3.9~5.0	0. 51 (0. 54) 0. 47~0. 70	13. 0 (13. 1) 12. 0~14. 0
0.020 (0.016) 0.008~0.028	3.3 (3.1) 2.3~4.0	1.4 (1.3) 1.0~1.5	0.03 (0.01) -0.04~0.09	7.1 (6.6) 5.2~8.1	3.9 (3.6) 2.8∼4.2	0. 34 (0. 25) 0. 08~0. 48	10.6 (9.8) 7.6∼13.5
0.011 (0,012) 0.008~0.014	3. 6 (3. 8) 3. 2~4. 2	1.0 (1.1) 0.8~1.3	-0.01 (-0.01) -0.06~0.04	7. 0 (7. 3) 6. 5~8. 0	3.0 (3.0) 2,3∼3.5	0.15 (0.15) 0.12~0.18	9.4 (9.7) 8,1~10.8
0.011 (0.013) 0.008~0.019	4.2 (4.4) 3.7~4.8	1.5 (1.5) 1.3~1.6	0.03 (0.02) −0.02~0.07	9.0 (9.0) 8.0~9.6	4.0 (4.0) 3,6~4,3	0. 20 (0. 21) 0. 15~0. 30	12. 4 (12. 5) 12. 0~13. 2
0.009 (0.010) 0.007~0.016	3.1 (3.1) 2.6~3.6	1.2 (1.2) 0.9~1.5	0.01 (0.01) -0.04~0.06	7. 5 (7. 5) 6. 8~8. 0	3.8 (3.8) 3.5~4.2	0.15 (0.16) 0.08~0.27	10.9 (11.0) 9.9~11.7
0.017 (0.018) 0.016~0.019	3.1 (3.2) 2.4~3.9	0.5 (0.5) 0.4~0.6	0.03 (0.04) 0.01~0.07	4. 8 (4. 9) 4. 4~5. 3	1.3 (1.3) 1.0~1.5	0. 27 (0. 29) 0. 27~0. 34	5. 2 (5. 4) 4. 6~5. 9
0.009 (0.009) 0.008~0.011	3.4 (3.2) 2,6∼3,7	1.6 (1.5) 1.2~1.8	0.08 (0.07) 0.03~0.13	6.7 (6.6) 6.0~7.2	3.7 (3.5) 2.9~4.2	0. 22 (0. 21) 0. 15~0. 30	10.4 (10.1) 8.7~11.2
0.019 (0.020) 0.017~0.023	1.8 (1,7) 1.4~2,2	0.5 (0,5) 0,4~0.7	0.15 (0.16) 0.13∼0.20	4.8 (4.7) 4.3~5.3	1. 9 (1. 9) 1. 9~2, 0	0. 42 (0. 46) 0. 38~0. 55	6.8 (6.7) 6,3~7.1
0.009 (0.010) 0.007~0.012	2.7 (2.6) 1.9~3.5	1.0 (1.0) 0.8~1.2	0.03 (0.04) 0.00~0.05	7.1 (6.8) 5.8~8.3	3.3 (3.3) 2.8∼3.8	0.17 (0, 18) 0.15~0.23	10. 2 (10. 0) 8. 2~11. 8

Notes) r_0 : Specific gravity in oven-dry

 r_{15} : Specific gravity in air-dry (15% moisture content)

Upper line, Gothic: Mean value weighted by the area in the disk which is represented by each specimen.

Middle line, in bracket: Arithmetic mean value. Lower line: Minimum and maximum values.

t: Tangential direction

r: Radial direction

l: Longitudinal direction

 $v: {\tt Volumetric}$

に示す。 なお、 樹心からの相対距離 20% の位置の容積密度数 (R_{20}) と 80% のそれ (R_{80}) との比 (R_{20}/R_{80}) を Table 5 に示す。 これによっても、 各供試木の横断面半径方向の容積密度数の変動幅をおよそ知ることができる。

- 1) 変動幅が 50 kg/m^3 以下のもの:スポンジアス(202),ピメロデンドロン(205),カンジス(206),ホワイトシリス(217),バルサ(221)。
- 2) 変動幅が $51\sim100 \text{ kg/m}^8$ のもの:スロアネア(203), -ューギニアバスウッド(204), リツェア(207),ブラックビーン(208),パシフィックメイプル(211), ダイゾッタス(212), パラルトカルプス(213),イエローハードウッド(215), カメレレ(222)。
 - 3) 変動幅が 101~150 kg/m³ のもの: ガラムート (220), チーク (223, 224)。
- 4) 変動幅が $151\sim200 \text{ kg/m}^3$ のもの:-ューギニアローズウッド (209),アグライア (210),ブスプラム (214),ランラン (216),ハードセルチス (219)。
 - 5) 変動幅が 201 kg/m^3 以上のもの:-ューギニアウォルナット (201), ステルクリア (218)。

2.3.2 比重および収縮率

中野達夫,太田貞明

比重および収縮率の測定方法は前報³⁾のとおりである。

供試木べつの容積密度数, 気乾(含水率15%時)比重, 全乾比重および収縮率(接線,半径,軸各方向の含水率1%当たり平均収縮率,気乾状態までの収縮率,全収縮率および容積全収縮率)の平均値(木口断面における面積加重平均値,算術平均値)および範囲(最小値〜最大値)を Table 6 に示す。

容積密度数の供試木どとの加重平均値はブスプラム (214) が 798 kg/m³ で供試木中最も大きく, バルサ (221) が 99 kg/m³ で最も小さい。

各種収縮率のうち、容積全収縮率はブスプラム(214)が 19.4% で供試木中最も大きく、バルサ(221)が 5.2% で最も小さい。また、 軸方向全収縮率はほとんどの供試木が 0.40% 以下であるが、スポンジアス(202)、ニューギニアバスウッド(204)、イエローハードウッド(215)、ランラン(216)、チーク(223)はこれより大きい。チークは 2本の供試木のうち 1本が大きく、 他の 1 本は 0.17% とかなり小さかった。また、スポンジアスの軸方向収縮率は前報 8)の供試木と同様にきわめて大きかった。

2.4 吸 水 性

葉石猛夫(1)

2.4.1 吸水量の半径方向の変動

従来、吸水量は 2.4.2 項で触れるように、木口断面中のある一定部位から複数の試験片を採取し、その 吸水量の平均値でもってその個体の吸水量としている。そして、多くの樹種の場合、それは心材におけ る値である。

しかし、今回の西ニューブリテン産の供試木の中には心材の範囲、または、辺・心材の境界そのものが 気乾時には肉眼的に確認しにくい樹種が多く見られた。よって、これらの樹種の試験片採取箇所がどのよ うな吸水的性質をもつ部位であるかを知るため、樹心から周辺にわたる木口面の吸水量の変動を検討する ことにした。

(1) 試験方法

試験片の大きさは、軸方向 10 mm、接線方向 30 mm で、 Fig. 7 に示すような切断線を設けた。この

半径試験片を含水率12~13%に十分に調湿した後、水温25±0.2°C、水面下50 mmに3時間浸漬させた。吸水後、直ちに切断線に沿って薄い鉈で割裂し、秤量管を用いて重量を測定した。なお、ここに求められた吸水量は木口面とまさ目面のそれらが合わさったものであるが、その大部分は木口面からのものである

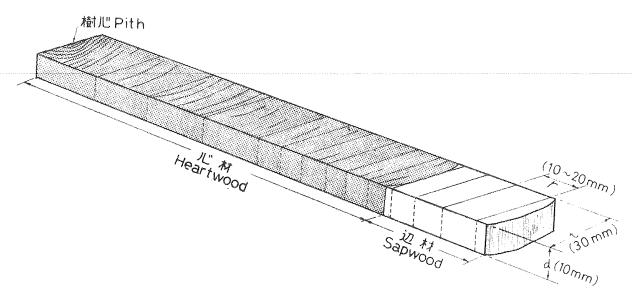


Fig. 7 吸水試験用試片 Test piece for water absorption test.

ので,便宜上,木口面吸水量とみなした。吸水量は次式によって求めた。

$$\varDelta W = \frac{1}{2} \left(\frac{U_w - U_i}{100} \right) d \cdot \gamma_0$$

△W: 3時間後の単位面積当たりの吸水量 (g/cm²)

Uw:吸水3時間後の含水率(%)

 U_i : 吸水前の含水率 (ブランクテストピースより算出,%)

γο : 全乾容積重 (g/cm³)

d :試験片の軸方向の厚さ (cm)

(2) 結果

Fig. 8 に各供試木の木口面の半径に沿った吸水量 (ΔW : g/cm²·3 hrs) の変動を示した。

なお、 Fig. 8 中で H と S で境界を示したものは、心材と辺材の境界が肉眼的に明瞭に認められたもので、ニューギニアウォールナット (201)、スポンジアス (202)、ブラックビーン (208)、ニューギニアローズウッド (209)、ダイゾックス (212)、ランラン (216) およびチーク (223) の7種類の供試木がそれに該当した。これらの供試木はその境界付近で吸水量が急激に変動するパターンを示したが、唯一の例外はチーク (223) であった。心材と辺材の境界が肉眼的に不明瞭なものに、カンジス (206)、アグライア (210)、パシフィックメイプル (211)、イエローハードウッド (215) の4供試木があり、それらは吸

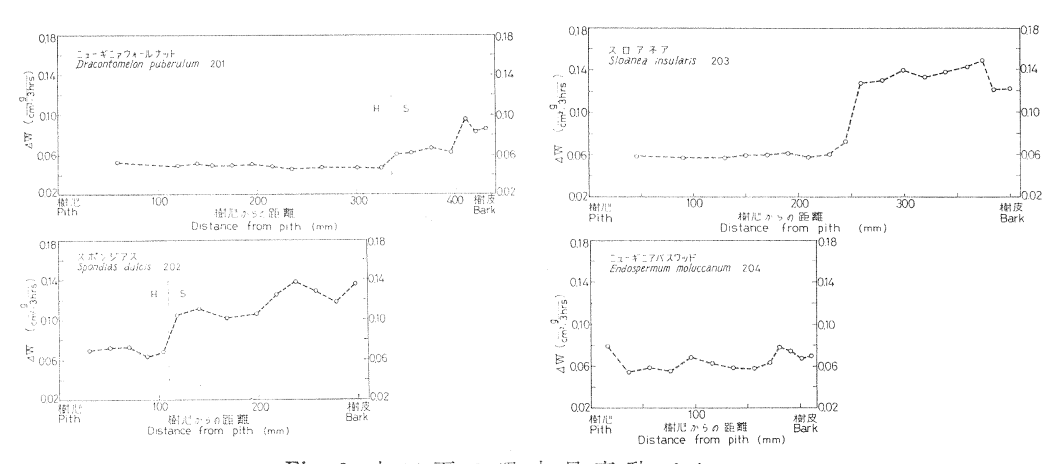


Fig. 8 木口面の吸水量変動パターン Patterns of water absorption in cross sections.

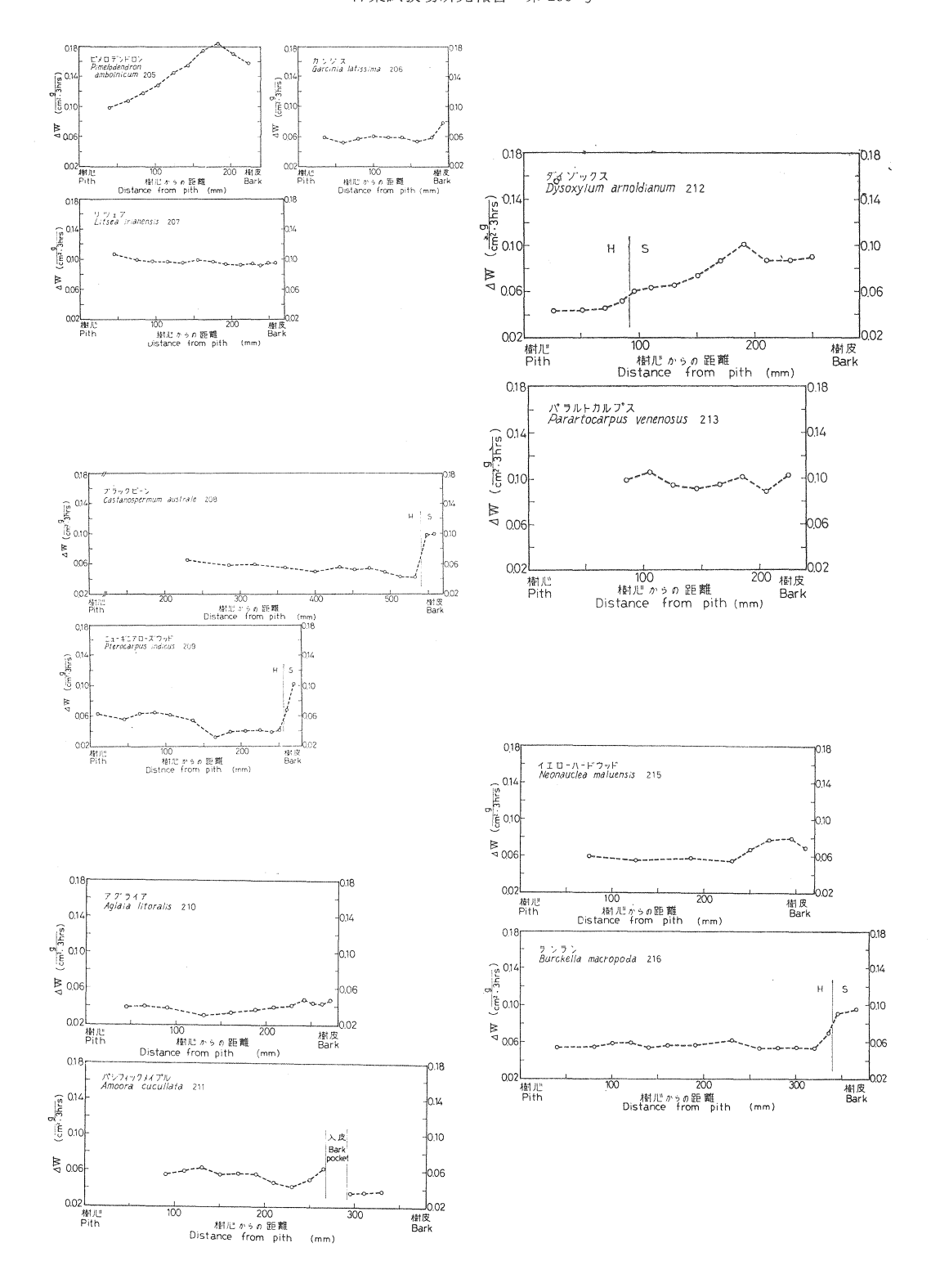
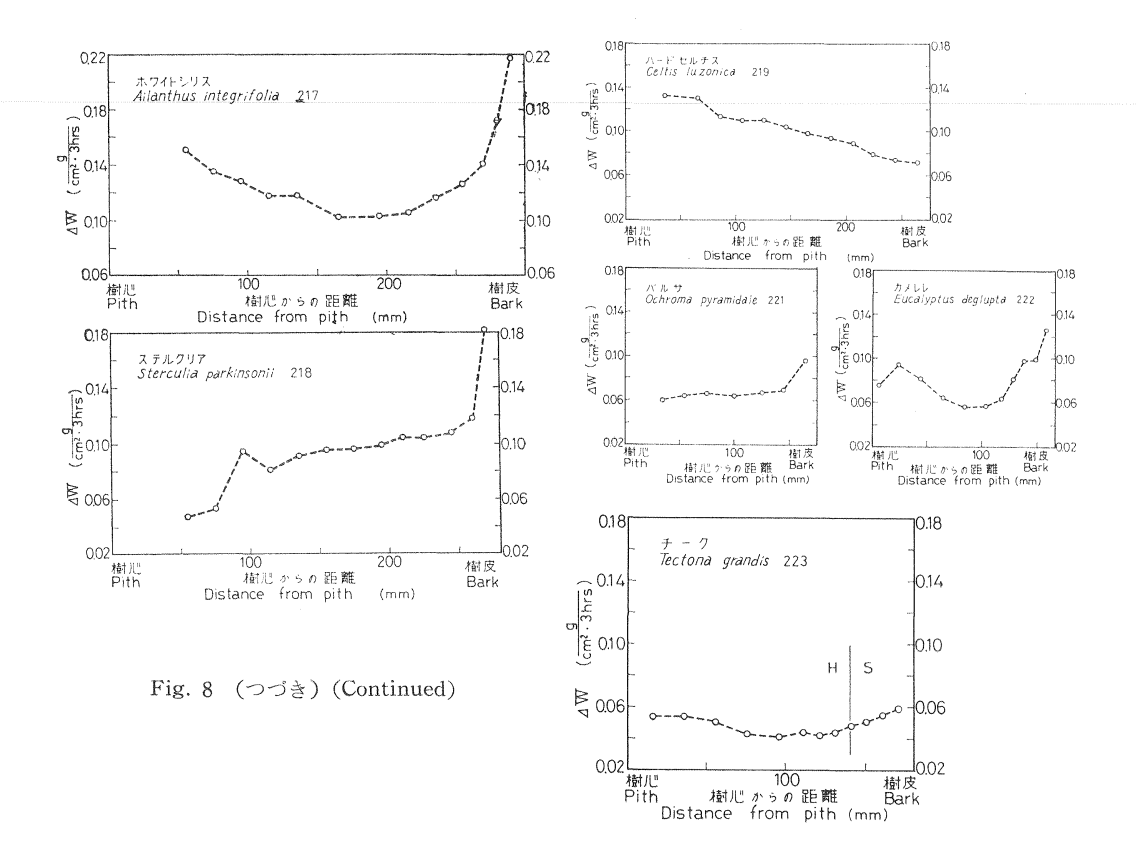


Fig. 8 (つづき) (Continued)



水量が漸増するものにほぼ大別されたが、アグライア (210) のように、 変動が目立たないものや、 パシフィックメイプル (211) のように 入皮のために変動がはっきりしないものもあって、 全体に吸水量の急激な変動は少ないグループであった。

一方、木口面全体が淡色を呈し、心材・辺材の識別が困難なものは、スロアネア (203)、ニューギニア バスウッド (204)、ピメロデンドロン (205)、リツェア (207)、パラルトカルプス (213)、ホワイトシリス (217)、ステルクリア (218)、ハードセルチス (219)、バルサ (221) およびカメレレ (222) などの10 種類の供試木であった。

これらのうち、スロアネア (203) は 心材・辺材の境界が明瞭なタイプと同様の吸水パタースを示し、吸水性の上で心・辺の境界が明瞭に存在した。なお、ハードセルチス (219) は樹心から 周辺に 向かって吸水量が減少する唯一の例であった。その他、余り吸水量が変動しないもの、大きく増加するものなど、一定の挙動を示さないものがこのグループに多く見られた。

ともあれ、 Fig. 8 の結果から、樹心から半径の1/3と2/3の間の部位の吸水量はほぼ安定した値を示すことが分かった。よって、スロアネア(203)のように辺・心材の境界がこの範囲にくる場合を除けば、辺・心材にかかわりなくこの範囲の吸水量を供試木での代表値として用いてもさしつかえないことが確認された。

			Water absorption	n		
種	原木番号	気 乾 比 重	含 水 率	Water	吸 水 量 absorption (mg/cm²	
ies	Log number	Specific gravity in air dry	Moisture content (%)	木 口 面 Cross section	板 目 面 Tangential section	まさ目面 Radial section
フォールナット puberulum	201	0.67 0.62~0.69	11.6 11.3∼11.8	136^{1} 128^{2} \sim 140^{3}	39 34∼46	32 29∼34
ア ス	202	0.36	11.9	432	152	79
is		0.36~0.37	11.6~12.2	397~467	135∼169	74~83
ris	203	0.49 0.47∼0.50	12.7 11.5∼13.7	237 218∼274	56 54∼60	46 45∼47
ベスウッド	204	0.41	11.0	500	130	146
moluccanum		0.37∼0.44	10.5~11.5	390~659	110∼138	108~240
ロン	205	0.65	11.9	554	195	100
amboinicum		0.61∼0.67	11.3~12.5	535∼670	165∼222	92~113
ス	206	0.75	12.5	186	102	68
sima		0.73∼0.77	11.5∼14.1	180∼190	98∼111	65~72
T	207	0.53	12.4	421	122	85
sis		0.49∼0.56	12.3~12.4	346∼511	97∼151	72~98
ーン	208	0.64	11.9	170	53	46
ım australe		0.61~0.66	11.4~11.9	146~217	45∼62	35∼57
ューズウッド	209	0.68	11.4	172	60	44
adicus		0.63~0.72	10.8~12.3	148∼192	52~79	35~59
r is	210	0.78 0.77~0.82	12.7 11.6∼13.2	99 90~102	40 39∼40	31 30∼32
イプル	211	0.53	12.6	130	53	41
lata		0.48∼0.55	11.6∼12.9	122∼145	45∼59	38~45
クス noldianum	212	0.46 0.42~0.50	12.1 11.6∼13.8	390 367~435	197 148~257	120 105∼135
	es * - \nu + \n	Log number 201	Log number Specific gravity in air dry $(x + -\nu + \gamma)^{\frac{1}{2}}$ $(x + \nu + \gamma$	種 原木番号 気 乾 比 重 含 水 率 Log number specific gravity in air dry (%) 1. *ールナット puberulum 201 0.67 0.62~0.69 11.3~11.8 2. *** 2. *** 2. *** 2. *** 2. * 2. ** 2. *	類	類本番号 気乾比重 含水率 Water absorption (mg/cm² Moisture content (光) 面面 (Tangential section

パラルトカルプス	213	0.43	12.3	580	198	148
Parartocarpus venenosus		0.39∼0.48	11.7∼12.9	500~762	161∼238	120∼183
ブ ス プ ラ ム	214	1.03	12.0	253	81	58
Maranthes corymbosa		1.02~1.04	11.7∼12.2	252~254	79∼83	56∼61
イエローハードウッド	215	0.71	11.9	195	57	51
Neonauclea maluensis		0.67∼0.73	11.7∼12.0	189~200	53∼60	48∼53
ラ ン ラ ン	216	0.76	12.1	174	66	59
Burckella macropoda		0.68~0.81	11.6∼12.7	156∼203	60∼70	52∼62
ホワイトシリス Ailanthus integrifolia	217	0.40 0.38~0.42	13.0 11.8∼14.5	509 475∼542	141 123~166	78 75∼86
ステルクリア	218	0.40	11.7	406	124	80
Sterculia parkinsonii		0.39~0.41	11.0∼12.9	388~421	118∼122	78∼83
ハードセルチス	219	0.69	11.4	445	118	93
Celtis luzonica		0.65~0.73	11.0∼11.7	326~550	101∼137	85~107
ガ ラ ム ー ト Vitex cofassus	220		—		—	
バ ル サ	221	0.10	11.6	317	111	66
Ochroma pyramidale		0.09~0.12	11.2~12.5	305∼330	96∼130	60∼76
カ メ レ レ	222	0.44	12.0	173	45	41
Eucalyptus deglupta		0.44~0.45	11.7∼12.5	167∼178	43∼47	38~43
チ ー ク	223	0.59	11.1	144	66	42
Tectona grandis		0.58~0.60	11.0∼11.3	144∼144	65∼67	40∼43
"	224					aire e e e e e e e e e e e e e e e e e e

¹⁾ 試片3~5個の平均値 2) 最小値 3) 最大値

¹⁾ Mean of three to five test specinens

²⁾ Minimum value

³⁾ Maximun value

2.4.2 吸水量

(1) 試験方法

試料は各供試木の樹心から半径のほぼ 1/3 と 2/3 の円周にはさまれた部分より採取し、天然乾燥を行った後、 $30\times30\times100$ (繊維方向) mm の二方まさ(柾)試験片を作製した。 その他、試験方法、手順などは前報 3 の JIS Z 2104 と同様である。

(2) 試験結果

Table 7 に今回の西ニューブリテン産材の試験結果を示す。

単位面積当たりの吸水量は、普通、木口面、板目面、まさ目面の順序で大きいが、ニューギニアバスウッド (204) では例外的にまさ目面の吸水量が板目面よりも大きかった。

なお、今回も、試験片作製時に青変菌におかされたものがあり、とくに顕著だったのはピメロデンドロン (205)、パラルトカルプス (213)、ステルクリア (218)、スポンジアス (202) であった。その他にも、ニューギニアバスウッド (204)、カンジス (206)、ホワイトシリス (217) は青変菌におかされていた。これらの樹種は、カンジス (206) を除き、すべて大きな吸水量を示したが、それ以外ではリツェア (207)、ダイゾックス (212) が大きい吸水量を示した。

Table 8. 強 度 Results of

樹 種 名 Species	原木記号 Log number	比 重 Specific gravity (r_u)	含水率 Moisture content (u%)	静 曲げヤング係数 E_b $(108 \mathrm{kg/cm^2})$	的 曲 げ 比例限度 _{σ_p} (kg/cm ²)
ニューギニアウォールナット Dracontomelon puberulum	201	0.61 0.55~0.67	13.5 13.0∼14.0	113 101~120	653 507∼802
スポンジアス Spondias dulcis	202	0.38 0.36~0.40	13.0 13.0∼13.0	76. 5 66. 6~85. 2	310 268~373
スロアネア Sloanea insularis	203	0.51 0,50∼0,54	13.5 13.5∼14.0	92. 8 83. 8~96, 4	492 436~568
ニューギニアバスウッド Endospermum moluccanum	204	0.43 0.40~0.48	13.5 13.0∼13.5	95.8 80.6∼116	410 304~504
ピメロデンドロン Pimelodendron amboinicum	205	0.67 0.65∼0.69	12.5 12.5∼13.0	132 123~148	595 509~673
カ ソ ジ ス Garcinia latissima	206	0.74 0.72~0.77	12.5 12.5∼12.5	131 117∼148	629 605~711
リーツ ェーア Litsea irianensis	207	0. 52 0. 50~0. 55	13.5 13.5∼13.5	113 102~122	475 435~538
ブラックビーン Castanospermum australe	208	0.66 0.64~0.69	13.0 12.5∼13.0	92.7 80.0∼105	536 470∼577

3. 強度的性質

中井 孝印

日本工業規格にしたがって、 静的曲げ試験 (JIS Z 2113) と、 衝撃曲げ試験 (JIS Z 2116) を 行なっ た。

(1) 試験方法

前報3)と同様の試験方法を採用した。

(2) 結

試験時比重,含水率とともに,得られた結果を Table 8 に示した。 なお同表に曲げ破壊係数を比重で 除した形質高,曲げ破壊係数を曲げヤング係数で除した値、衝撃曲げ吸収エネルギーを,比重の2乗で除 した値をも付記した。

得られた結果を摘記すれば, つぎのようである。

- 1) 供試材料の試験時比重は,バルサ(221)の0.12から,ブスプラム(214)の1.03の範囲にあっ to.
 - 2) 試験時比重と曲げヤング係数,曲げ破壊係数との間には,それぞれ Fig. 9 と Fig. 10 に示したよ

験 結 果 試 mechanical tests

Static bendin	ıg			衝撃曲げ Im	衝撃曲げ Impact bending		
曲 げ 強 さ 	σ_p/σ_b	$rac{\sigma_b/r_u}{(\mathrm{km})}$	$\sigma_b/E \ (10^{-2})$	衝撃曲げ吸収 エネルギー a (kg·m/cm²)	a/r_u^2		
1,005	0. 65	16. 6	0. 89	0. 52	1.3		
860~1,097	0.58~0.78	15.1~18.0	0.83~0.94	0.40~0.65	1.1~1.6		
526	0.59	13.8	0. 69	0.36	2. 4		
473~599	0.54~0.64	13.0~14.9	0.65~0.72	0.30~0.40	2.0~3.0		
751	0. 66	14. 6	0. 81	0. 31	1.2		
637~805	0.61~0.73	12.5~16.2	0.74~0.86	0.25~0.36	0.8~1.3		
645	0. 63	14. 9	0. 67	0.48	2. 6		
531~776	0.57~0.67	12.9~16.4	0.65~0.70	0.37~0.61	2,3~3,4		
1.003	0. 59	15. 0	0.76	0. 71	1.6		
891~1,045	0.50~0.65	13.7~15.4	0.64~0.82	0.58~0.90	1.2~2.1		
1,060	0. 59	14. 3	0. 81	0.75	1.4		
981~1,171	0.54~0.63	13.2~15.2	0.78~0.84	0,62~0,81	1.1~1.6		
789	0. 61	15.0	0. 70	0. 65	2. 2		
750~838	0.50~0.66	14.3~15.5	0.65~0.76	0.51~0.78	1.8~2.6		
803	0. 67	12. 1	0.87	0. 36	0.8		
642~965	0.59~0.75	9.7~14.6	0.74~0.93	0.27~0.42	0.6~1.0		

⁽¹⁾ 木材利用部

Table 8. (つづき) (Continued)

		11	A 1 ==1-	.h.t.	7.711. \ \mathred{\gamma}
樹 種 名 Species	原木記号 Log number	比 重 Specific gravity (r_u)	含水率 Moisture content (<i>u%</i>)	静 曲げヤング係数 E_b (10^3 kg/cm^2)	的 曲 げ 比例限度 _{σ_p} (kg/cm ²)
ニューギニアローズウッド Pterocarpus indicus	209	0.70 0.63~0.74	11.5 11.5~12.0	119 104~137	782 697~916
ア グ ラ イ ア Aglaia litoralis	210	0.80 0.79~0.82	14.5 14.5~14.5	161 155∼171	888 806~958
パシフィックメイプル Amoora cucullata	211	0.51 0.48~0.54	15.0 14.5∼15.0	96.3 89.3~106	479 401~514
ダイゾックス Dysoxylum arnoldianum	212	0.46 0.41~0.53	15.0 14.5∼15.5	83. 2 70 . 6∼107	413 300~434
パラルトカルプス Parartocarpus venenosus	213	0.45 0.41~0.49	14.5 14.0~14.5	86.7 79.8∼94.4	385 335~402
ブスプラム Maranthes corymbosa	214	1.03 1.01~1.06	14.0 13.5~14.0	221 207~253	1,038 747~1,193
イエローハードウッド Neonauclea maluensis	215	0.73 0.71∼0.75	14.0 14.0~14.5	115 102∼128	651 469~782
ラ ン ラ ン Burckella macropoda	216	0.77 0.71~0.81	14.0 14.0~14.5	144 127~160	720 632~798
ホワイトシリス Ailanthus integrifolia	217	0.40 0.38~0.42	13.5 13.5∼14.0	92.5 85.8~99.1	373 324~408
ステルクリア Sterculia parkinsonii	218	0.41 0.37~0.44	13.0 12.5~13.0	74.7 66, 3~79, 6	355 315∼418
ハードセルチス Celtis luzonica	219	0.68 0.66∼0.71	13.0 12.5∼13.0	156 145~169	786 706~853
ガ ラ ム ー ト Vitex cofassus	220	0.68 0,62~0,76	14.0 13.5∼14.0	112 85. 8∼130	673 578~777
バ ル サ Ochroma pyramidale	221	0.12 0.10~0.13	13.0 12.0∼14.5	14.7 11.8~16.8	56. 4 39. 8∼66. 7
カ メ レ レ Eucalyptus deglupta	222	0.43 0.41~0.45	14.0 13.5∼14.0	77. 2 64. 2~87. 2	376 266~438
チ ー ク Tectona grandis	223	0.63 0.59~0.66	13.5 13.5~13.5	98.3 81.0~113	607 535~701
"	224	0.60 0.50~0.65	13.5 12.5~14.0	98.8 74.0~114	589 432~703

注) 表中の数字のうち、上段は平均値、下段は範囲を示す。

 E_b : 曲げヤング係数 σ_p : 比例限度 σ_b : 曲げ強さ

a:衝撃曲げ吸収エネルギー

Static bendir	1g			衝撃曲げ Im	pact bending
曲 げ 強 さ σ_b (kg/cm^2)	σ_p/σ_b	$\frac{\sigma_b/r_u}{(\mathrm{km})}$	$\frac{\sigma_b/E}{(10^{-2})}$	衝撃曲げ吸収 エネルギー a (kg·m/cm²)	a/r_u^2
1,103	0.71 0.64~0.77	15.8	0.93	0.58	1. 0
971∼1,341		14.1~18.2	0.85~1.05	0.47~0.68	0. 9~1. 4
1,474	0.60	18.4	0.92	0.85	1.3
1,353~1,580	0.57~0.64	17.2~19.7	0.87∼0.95	0.67~1.04	1.1~1.5
764	0.63	15.0	0.79	0.48	1. 9
696~843	0.57∼0.68	14.0~16.5	0,74~0,83	0.43~0.55	1. 4~2. 3
687	0.60	15.0	0.83	0.32	1.5
588~810	0.49~0.67	14.0~15.9	0,75~0,90	0.24~0.45	1.4~1.7
635	0.61	14. 2	0.73	0.34	1.8
580∼674	0.56~0.66	13. 5~14. 8	0.69~0.77	0.28~0.52	1.5~2.1
1,632	0.64	15.8	0.74	1.51	1.4
1,387∼1,978	0.53~0.71	13.6~18.7	0.65~0.78	1.18~1.86	1.1~1.8
998 750~1,150	0.65 0.61~0.75	13.7 10.6~15.5	0.87 0.70~0.91	0.72 0.63~0.82	1.4 1.3~1.6
1,226 1,009~1,419	0.59 0.52~0.66	15.9 13.6∼17.8	0.85 0.79~0.94	0.99 0.86~1.17	1.7 1.4~2.1
632	0.59	15. 7	0.68 0.64~0.73	0.36	2. 2
584~680	0.56~0.65	14. 9~16. 7		0.31~0.42	1. 8~2. 4
- 550	0.65	13.4	0.74 0.69~0.79	0.43	2.5
485∼606	0.61~0.69	12.5~13.9		0.36~0.46	2.3~2.8
1.275 1,200~1,341	0.62 0.56~0.65	18.6 18.1∼19.4	0.82 0.74~0.87	1.14 0.97~1.38	2.4 2.1~2.9
1,034	0.66	15. 2	0.93	0.42	1.1
806∼1,197	0.60~0.81	10. 6~17. 5	0.81~1.05	0.38∼0.55	0.9~1.2
110	0.51	9.5	0.75	0.063	5.0
89. 0~129	0.39~0.57	8.1~10.9	0.69~0.83	0.045∼0.077	3,2~5,8
612	0.61 0,53~0.66	14. 2	0.79	0.60	3.0
506∼680		11. 9~15. 5	0.74~0.86	0.42~0.82	2,2~3,7
1, 017	0.60	16.0 13.5~17.6	1.04	0.56	1. 3
843~1,132	0.56∼0.63		0.98~1.15	0.42~0.69	1. 1~1. 7
976	0.60	16. 2	0.99	0.43	1.5
758~1,099	0.57~0.65	15. 2~17. 4	0.94~1.06	0.39~0.59	1.0~2.1

Notes) The value given in the upper line is the mean. Below it is given the range.

 E_b : Modulus of elasticity (Young's modulus)

 σ_p : Stress at proportional limit

 σ_b : Modulus of rupture

a: Absorbed energy in impact bending

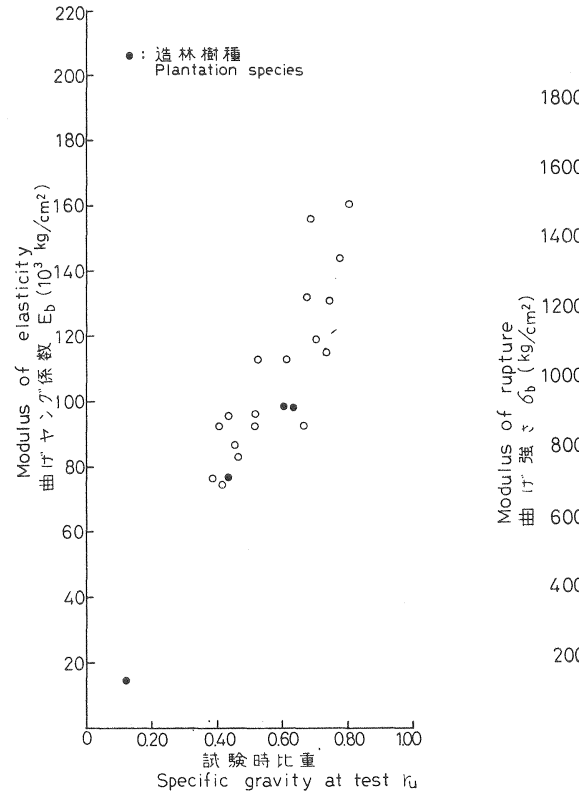


Fig. 9 試験時比重と曲げヤング係数との関係 Relation between specific gravity at test and modulus of elasticity.

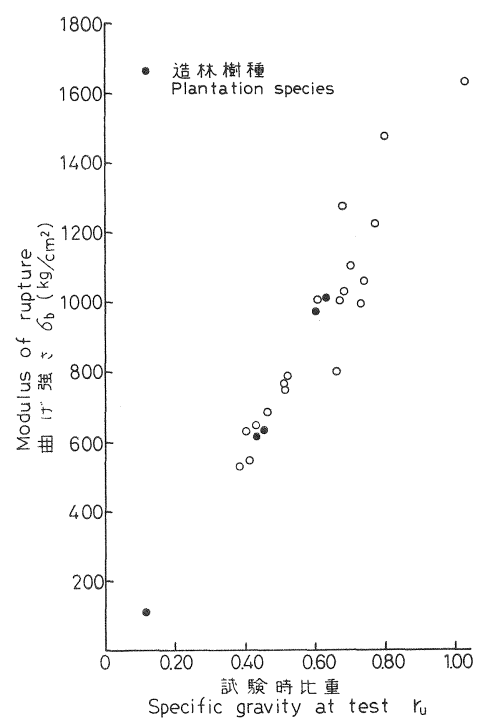


Fig. 10 試験時比重と曲げ強さとの関係 Relation between specific gravity at test and modulus of rupture.

うに, ほぼ直線的な関係が認められる。

- 3) 形質商の値をみると、他の樹種と比較して、バルサ (221) の $9.5\,\mathrm{km}$ が低く、アグライア (210)、ハードセルチス (219) が、それぞれ 18.4、 $18.6\,\mathrm{km}$ とやや高い値を示した。
- 4) 曲げ破壊係数をヤング係数で除した値 (MOR/MOE) は,ニューギニアバスウッド (204) の 0.67×10^{-2} からチーク (223) の 1.04×10^{-2} の範囲にあった。
- 5) 衝撃曲げ吸収エネルギーは,バルサ(221)の0.063から,ブスプラム(214)の1.51までの範囲にあった。衝撃曲げ吸収エネルギーを比重の2乗で除した値(a/r_u^2)は,バルサ(221)が,5.0と高い値を示したほかは,ブラックビーン(208)の0.8から,カメレレ(222)の3.0の範囲を示した。

4. 耐 朽 性

4.1 比較耐朽性

松岡昭四郎(1)

西ニューブリテン産材について、JIS Z 2119-1958「木材の耐朽性試験方法」による耐朽性試験をおこなった。

(1) 試験方法

前報³⁾ と同様に供試体は寸法 $2 \times 2 \times 2$ cm の立方体で,辺材,心材 の識別困難な材を含めて,丸太の 外周から $2 \sim 3$ cm の部分(以下周辺部とよぶ)と, 樹心から 半径約 60% の 部分(以下心部とよぶ)から採取した。供試体は周辺部,心部とも各供試菌について 9 個ずつ使用した。供試菌は標準菌種オオウズ ラタケ,カワラタケのほかにヒイロタケを追加し,合計 3 種の腐朽菌を使用して菌ごとの重量減少率を求めた。なお,供試体ですでに菌の侵入をうけ,青変のみられた樹種は,周辺部ではニューギニアウォールナット(201),スポンジアス(202),スロアネア(203),ニューギニアバスウッド(204),ピメロデンドロン(205),リツェア(207),ブラックビーン(208),ニューギニアローズウッド(209),パラルトカルプス(213),ホワイトシリス(217),ステルクリア(218),ハードセルチス(219),ガラムート(220),バルサ(221)であり,また,心部ではニューギニアバスウッド,ステルクリア,リツェア,バルサであった。これらの供試体については,あらかじめ 120° C、30 分間で殺菌したのち試験に供した。

(2) 試験結果

試験結果を Table 9 に示す。

心部において重量減少の少ない樹種はニューギニアウォールナット(201)、カンジス(206)、ブラックビーン(208)、ニューギニアローズウッド(209)、アグライア(210)、イエローハードウッド(215)、ランラン(216)、ガラムート(220)である。 チークについては表にみられるように、 結果にバラツキが大きく、重量減少のない供試体が 3 菌種合計で 15 個あり、オオウズラタケで 15.1%、16.1%、カワラタケで 18.4%、18.7% という高い重量減少率を示した供試体もあり、あきらかに腐朽を示している。 従来のチークの結果 $^{11)}$ ではまったく重量減少を示さなかったのに比べて、今回はこのようにあきらかに腐朽が認められ、特異な結果を示した。この理由については、若齢の造林木によるものかどうか、1 個体のみの結果では判断しがたく、今後検討を要する。重量減少の大きい樹種はスポンジアス(202)、ニューギニアバスウッド(204)、リツェア(207)、パラルトカルプス(213)、ステルクリア(218)、ハードセルチス(219)、バルサ(221)であった。

4.2 加圧注入性

井 上 衛(2)

本実験は供試体に常温の水を加圧注入し、その吸収量を木材 m^3 当たりに換算し、吸収量の多少により注入の難易性を調べたものである。

(1) 試験方法

供試体は $3 \times 3 \times 60$ cm の大きさで 1 樹種周辺部・心部とも4 本ずつとし、耐朽性の供試体と同じ板の

^{(1) (2)} 木材利用部

Table 9. 腐朽による重量減少率 Percentage of weight loss caused by decay

供 試 菌 Test fungi	樹 種 Species	原木番号 Log number	採取位置 Position of spec- imens	気乾比重 Specific gravity in air dry	重量減 少率 Weight loss (%)	重量減少率の 範囲 Range of weight loss (%)
オオウズラタケ Tyromyces	ニューギニアウォールナット Dracontomelon puberulum	201	S H	0.67 0.56	6.9 1.3	3.7~ 8.6 0.7~ 1.6
palustris	スポンジアス Spondias dulcis	202	S H	0.34 0.38	42. 8 33. 7	36.1~51.0 25.6~46.1
	スロアネア Sloanea insularis	203	S H	0.48 0.45	8. 9 13. 0	5.6~14.6 8.6~20.0
	ニューギニアバスウッド Endospermum moluccanum	204	S H	0. 49 0. 43	35. 1 31. 3	30.1~41.3 21.7~38.5
	ピメロデンドロン Pimelodendron amboinicum	205	S H	0.61 0.68	23.0 16.5	17.8~30.2 13.3~20.6
	カ ン ジ ス Garcinia latissima	206	S	 0.76	 2, 3	
	リーツェーア Litsea irianensis	207	S H	0.50 0.48	34.5 24.4	18. 4~45. 5 13. 5~30. 5
	ブラックビーン Castanospermum australe	208	S H	0.60 0.68	23. 4 2. 4	20.2~27.0 1.9~ 3.9
	ニューギニアローズウッド Pterocarpus indicus	209	S H	0.67 0.67	21.6	14.4~38.9 0
	ア グ ラ イ ア Aglaia litoralis	210	S H	0.79 0.82	9. 2 0. 5	$5.1 \sim 13.1$ $0 \sim 1.6$
	パシフィックメイプル Amoora cucullata	211	S H	0.58 0.52	1.4 4.7	0.6~ 2.5 0.8~ 9.3
	ダイゾックス Dysoxylum arnoldianum	212	S H	0.53 0.43	1.0 2.6	$0 \sim 3.1$ $1.6 \sim 3.5$
	パラルトカルプス Parartocarpus venenosus	213	S H	0.51 0.41	27.6 17.0	12.5~37.8 4.8~24.7
	ブスプラム Maranthes corymbosa	214	S H	1.02 1.03	6.3 8.0	3.7~ 7.9 6.6~10.0
	イエローハードウッド Neonauclea maluensis	215	S H	0,71 0,66	5.8 1.8	1.7∼ 9.5 0∼ 3.8
	ラ ン ラ ン Burckella macropoda	216	S H	0.74 0.65	1.4 3.8	1.0~ 2.0 2.7~ 5.4
	ホワイトシリス Ailanthus integrifolia	217	S H	0.42 0.39	30.8 13.3	22.2~37.4 8.1~21.1
	ステルクリア Sterculia parkinsonii	218	S H	0, 46 0, 37	34.5 20.9	27. 4~45. 1 13. 9~25. 8
	ハードセルチス Celtis luzonica	219	S H	0.72 0.65	34. 2 33. 0	30.3~40.2 29.2~37.2
	ガ ラ ム ー ト Vitex cofassus	220	S H	0.67 0.60	5.8 0.3	3.6~ 8.6 0~ 1.1
	バールサ Ochroma pyramidale	221	S H	0.15 0.10	37.9 37.9	15.3~52.2 27.7~49.3
	カ メ レ レ Eucalyptus deglupta	222	S H	0. 43 0. 45	8.7 11.2	2.7~14.2 3.4~14.4
	チ ー ク Tectona grandis	223	S H	0.67 0.51	0 5.0	0 0∼16.1

Table 9. (つづき) (Continued)

供試菌	樹種	原木番号	採取位置	気乾比重	重量減 少率	重量減少率0 範囲
Test fungi	Species	Log number	Position of spec-imens	Specific gravity in air dry	Weight loss	Range of weight los (%)
カワラタケ Coriolus	ニューギニアウォールナット Dracontomelon puberulum	201	S H	0.67 0.57	15. 4 2. 0	11.9~20.1 1.4~ 2.3
versicolor	スポンジアス Spondias dulcis	202	S H	0.34 0.37	31.1 24.1	26.6~34.7 14.2~30.8
	スロアネア Sloanea insularis	203	S H	0.49 0.45	21.5 8.0	19.3~23.1 4.1~11.8
	ニューギニアバスウッド Endospermum moluccanum	204	S H	0.48 0.43	15.4 17.2	10.7~20.9 9.4~23.0
	ピメロデンドロン Pimelodendron amboinicum	205	S H	0.61 0.67	21.3 13.1	15.7∼26.5 9.3∼16.0
	カ ン ジ ス Garcinia latissima	206	S H	0.76	1.2	0.3~ 1.9
	リッソュア Litsea irianensis	207	S H	0.50 0.47	28.3 19.5	25.3~31.5 16.2~25.4
	プラックビーン $Castanospermum$ australe	208	S H	0.62 0.68	24. 1 1. 6	21.0~36.7 0~ 2.7
	ニューギニアローズウッド Pterocarpus indicus	209	S H	0.67 0.67	23.7 0.9	20.7~27.8 0.3~ 1.5
	ア グ ラ イ ア Aglaia litoralis	210	S H	0.78 0.81	14.0 0.5	10.1~18.6 0~1.1
	パシフィックメイプル Amoora cucullata	21 [S H	0.58 0.52	9. 7 2. 4	7.6 \sim 11.0.9 \sim 3.0
	ダイゾックス Dysoxylum arnoldianum	212	S H	0.53 0.40	21.3 12.4	17.4~26.3 8.2~17.0
	パラルトカルプス Parartocarpus venenosus	213	S H	0.51 0.41	23.9 27.0	15.0~29. 22.6~30.
	ブスプラム Maranthes corymbosa	214	S H	1.01 1.03	2, 8 3, 1	1.2~ 3.9 1.7~ 4.3
	イエローハードウッド Neonauclea maluensis	215	S H	0.71 0.67	7.6 3.0	6.8~ 8. 2.5~ 3.3
	ラ ン ラ ン Burckella macropoda	216	S H	0.74 0.65	10.1 2.6	4.5~13.1 1.8~ 3.1
	ホワイトシリス Ailanthus integrifolia	217	S H	0.42 0.39	15.3 17.2	11.5~17. 13.6~20.
	ステルクリア Sterculia parkinsonii	218	S H	0.45 0.37	26.0 23.9	22.6~30. 20.8~28.
	ハードセルチス Celtis luzonica	219	S H	0.72 0.64	23. 4 22. 5	21. 2~25. 18. 5~26.
	ガ ラ ム ー ト Vitex cofassus	220	S H	0.67 0.59	8. 2 0. 1	6.7∼10. 0∼ 0.
	バールサ Ochroma pyramidale	221	S H	0.14 0.10	23.9 14.1	18.0~30.3
	カ メ レ レ Eucalyptus deglupta	222	S H	0.42 0.45	23. 9 21. 3	20.6~26. 17.2~25.
	チ ー ク Tectona grandis	223	S H	0.67 0.54	13.1 6.6	10.7~16.6 0.9~18.3

Table 9. (つづき) (Continued)

供 試 菌	樹種種	原木番号	採取位置	気乾比重 Specific	少率	重量減少率の 範囲
Test fungi	Species	Log number	Position of spec- imens		Weight loss (%)	Range of weight los (%)
ヒイロタケ Pycnoporus	ニューギニアウォールナット Dracontomelon puberulum	201	S H	0.67 0.55	12.1 1.3	10.0~14.2 1.0~ 1.6
coccineus	スポンジアス Spondias dulcis	202	S H	0.34 0.38	39. 4 29. 3	35.6~46.9 26.8~35.3
	スロアネア Sloanea insularis	203	S H	0.48 0.45	29.8 4.6	25. 1~32. 5 0. 7~10. 9
	ニューギニアバスウッド Endospermum moluccanum	204	S H	0. 48 0. 44	21.9 24.3	18. 9~25. 8 19. 1~29. 0
	ピメロデンドロン Pimelodendron amboinicum	205	S H	0.61 0.67	20.5 5.5	17. 2~27. 4 2. 3~10. 3
	カ ソ ジ ス Garcinia latissima	206	S H	— 0.75	0.9	 0.6∼ 1.4
	リッツェア Litsea irianensis	207	S H	0.50 0.47	24. 1 27. 1	10.3~32.2 25.4~28.5
	ブラックビーン Castanospermum australe	208	S H	0.61 0.67	16.6 1.4	7.7 \sim 23.5 0.7 \sim 1.6
	ニューギニアローズウッド Pterocarpus indicus	209	S H	0.67 0.66	12.2 0.1	10.2~14.6 0~ 0.3
	ア グ ラ イ ア Aglaia litoralis	210	S H	0.77 0.80	11.1 O	9. 2~13. 0
	パシフィックメイプル Amoora cucullata	211	S H	0.58 0.51	2.1 0	0.5~ 4.3 0
	ダイゾックス Dysoxylum arnoldianum	212	S H	0.54 0.41	25.4 1.6	19.3~29.4 0.9~ 2.4
	パラルトカルプス Parartocarpus venenosus	213	S H	0.51 0.41	19.1 24.1	14.7~23.6 10.2~33.9
	ブ ス プ ラ ム Maranthes corymbosa	214	S H	1.01 1.03	4.3 6.6	3.6~ 5.4 4.6~ 8.2
	イエローハードウッド Neonauclea maluensis	215	S H	0.71 0.66	4.5 0.6	$2.2 \sim 5.8$ $0.1 \sim 0.9$
	ラ ン ラ ン Burckella macropoda	216	S H	0.73 0.65	6.4	2.1~ 8.3
	ホワイトシリス Ailanthus integrifolia	217	S H	0.42 0.39	20.3 14.7	16.9~25.2 12.3~19.6
	ステルクリア Sterculia parkinsonii	218	S H	0.46 0.37	34.1 41.8	32. 1~36. 3 37. 2~44. 0
	ハードセルチス Celtis luzonica	219	S H	0.72 0.64	26.7 48.1	20. 2~33. 6 43. 8~50.
	ガ ラ ム ー ト Vitex cofassus	220	S H	0.67 0.59	4.0 0	2.0~ 5.0 0
	バールサ Ochroma pyramidale	221	S H	0.15 0.10	24.4 14.5	20.1~32.8 5.6~24.2
	カメレレ Eucalyptus deglupta	222	S H	0.42 0.43	34.2 17.7	27.6~39.6 14.1~22.1
	チ ー ク Tectona grandis	223	S H	0,66 0,55	9. 2 3. 2	3.9~16.6 0~ 8.4

注) * S:丸太の外周から2~3cmの位置(周辺部)の試料

H:樹心からの相対距離約60%の位置(心部)の試料

Notes) * S : Specimens taken at the part which are $2\sim 3 \text{cm}$ from bark. H : Specimens taken at the parts about two thirds of radius apart from pith.

Table 10. 加圧処理法による注入量 Retentions by pressure treating method

樹 種 Species	原木番号 Log number	採取位置* Position of specimens	気乾比重 Specific gravity in air dry		人 tention kg/m³)
ニューギニアウォールナット	201	S	0.67	373	330~405
Dracontomelon puberulum		H	0.56	22	20~ 24
スポンジアス	1	S	0.41	612	598~626
Spondias dulcis		H	0.43	588	506~628
"	202	S H	0.34 0.38	612 611	516~679 591~629
アルストニア	2	S	0, 32	673	652~685
Alstonia scholaris		H	0, 30	631	610~666
カナリウム	3	S	0. 59	415	391~427
Canarium indicum		H	0. 53	241	80~413
イエローターミナリア	4	S	0.74	280	257~302
Terminalia calamansanai		H	0.60	277	263~291
レッドブラウンターミナリア	5	S	0. 46	508	438~571
Terminalia solomonensis		H	0. 44	266	235~291
"	6	S H	0. 52 0. 37	447 241	414~467 182~367
"	7	S H	0.51 0.41	438 446	386~469 248~547
エリマ	8	S	0.33	610	588~622
Octomeles sumatrana		H	0.34	283	222~348
クワンドン	9	S	0.54	526	460~549
Elacocarpus sphaericus		H	0.52	43	37~ 48
スロアネア	203	S	0. 48	535	517~540
Sloanea insularis		H	0. 45	79	50~107
ニューギニアバスウッド	204	S	0. 49	642	640~650
Endospermum moluccanum		H	0. 43	627	605~641
ピメロデンドロン	205	S	0.61	524	507~535
Pimelodendron amboinicum		H	0.68	464	460~469
マ ラ ス	10	S	0.78	364	357~371
Homalium foetidum		H	0.88	199	90~352
カロフィルム	11	S	0. 43	446	431~474
Calophyllum vexans		H	0. 40	45	35~ 83
カ ン ジ ス Garcinia latissima	206	S H	0.76	321	 307~546
マ ソ イ ア	12	S	0.41	623	618~632
Cryptocarya massoy		H	0.38	543	508~579

Table 10. (つづき) (Continued)

樹 種 Species	原木番号 Log number	採取位置* Position of specimens	気乾比重 Specific gravity in air dry		入 量 tention tg/m³)
リ ツ ェ ア	207	S	0.50	570	518~629
Litsea irianensis		H	0.48	530	508~556
プラックビーン Castanospermum australe	208	S H	0.60 0.68	441	361~487 24~ 30
ク イ ラ	13	S	0.75	451	388~485
Intsia bijuga		H	0.78	44	33~ 48
ニューギニアローズウッド Pterocarpus indicus	209	S H	 0.67	43	
ア グ ラ イ ア	210	S	0.79	327	293~350
Aglaia litoralis		H	0.82	20	18~ 24
パシフィックメイプル	211	S	0.58	407	370~446
Amoora cucullata		H	0.52	62	59~ 65
ダイゾックス	212	S	0.53	498	476~515
Dysoxylum arnoldianum		H	0.43	440	421~450
ダイゾックス	14	S	0.72	543	538~551
Dysoxylum gaudichaudianum		H	0.63	545	536~549
アンチアリス	15	S	0, 35	538	502~597
Antiaris toxicaria		H	0, 27	455	334~544
アルトカルプス	16	S	0. 37	650	593~690
Artocarpus incisus		H	0. 33	621	593~650
パラルトカルプス	213	S	0. 51	598	576~618
Parartocarpus venenosus		H	0. 41	499	460~555
カ メ レ レ	17	S	0.67	353	305~415
Eucalyptus deglupta		H	0.50	74	52~100
"	18	S H	0. 52 0. 42	418 140	350~458 68~204
"	19	S H	0, 67 0, 46	368 104	336~415 63~226
ウォーターガム	20	S	0.59	510	498~520
Syzygium sp.		H	0.63	74	21~113
ブ ス プ ラ ム	214	S	1.02	349	346~355
Maranthes corymbosa		H	1.03	344	335~347
ラ ブ ラ	21	S	0. 47	583	551~611
Anthocephalus cadamba		H	0. 45	527	513~540
イエローハードウッド Neonauclea maluensis	215	S H	0.71	412 183	378~445 143~245

Table 10. (つづき) (Continued)

樹 種 Species	原木番号 Log number	Position	気乾比重 Specific gravity in air dry		入 tention kg/m³)
エ ボ ジ ア	22	S	0. 43	587	520~638
Evodia elleryana		H	0. 37	434	386~462
タ ウ ン	23	S	0.73	183	143~268
Pometia pinnata		H	0.59	112	106~120
"	24	S H	0.76 0.79	311 79	297~322 57~ 95
"	25	S H	0.81 0.70	292 85	262~313 66~114
タ ウ ン	26	S	0.58	368	349~386
Pometia sp.		H	0.71	114	103~126
ラ ン ラ ン	216	S	0.74	357	316~384
Burckella macropoda		H	0.65	41	37~ 44
パラキュウム Palaquium erythrospermum	27	S H	0.49 0.46	40 5	394~415 29~ 58
プランチョネラ	28	S	0.57	537	453~625
Planchonella thyrsoidea		H	0.41	493	223~594
ホワイトシリス	217	S	0.42	667	653~677
Ailanthus integrifolia		H	0.39	601	587~614
アンベロイ	29	S	0.39	709	689~724
Pterocymbium beccarii		H	0.30	727	725~732
ステルクリア	218	S	0.46	602	533~633
Sterculia parkinsonii		H	0.37	529	478~576
セ ル チ ス	30	S	0.64	513	505~522
Celtis kajewskii		H	0.59	32 0	282~351
ハードセルチス	219	S	0.72	428	417~448
Celtis luzonica		H	0.65	426	413~449
ガ ラ ム ー ト	220	S	0.67	172	125~272
Vitex cofassus		H	0.60	32	30~ 35
バ ル サ	221	S	0.15	560	476~478
Ochroma pyramidale		H	0.10	334	292~374
カ メ レ レ	222	S	0. 43	596	554~619
Eucalyptus deglupta		H	0. 45	149	137~156
チ ー ク	223	S	0. 67	275	216~326
Tectona grandis		H	0. 51	107	93~121

注) *S:丸太の外周から $2\sim3\,\mathrm{cm}$ の位置 (周辺部) の試料

H:樹心からの相対距離約60%の位置 (心部) の試料 Notes) *S: Specimens taken at the part which are 2~3cm from bark.

H: Specimens taken at the parts about two thirds of radius apart from pith.

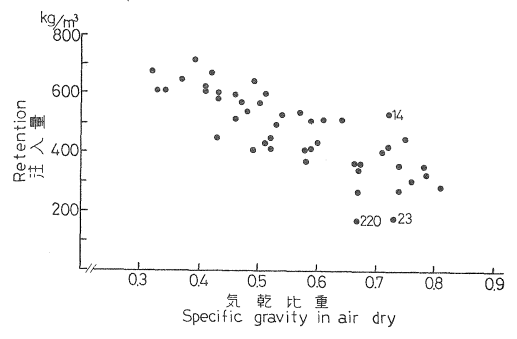


Fig. 11 注入量と気乾比重との関係 (周辺部) Relation between retention and specific gravity in air-dry (outer part).

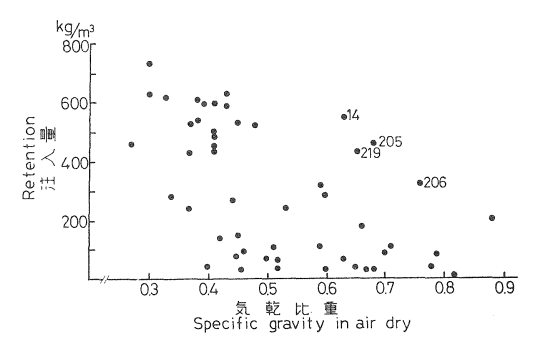


Fig. 12 注入量と気乾比重との関係 (心部) Relation between retention and specific gravity in air-dry (inner part).

ほぼ同じ位置から採取したものを使用した。

処理液は水溶性防腐薬剤を想定して、常温($20\sim26$ °C)の水を使用し、処理方法は加圧処理を用いた。 処理は前排気 600mmHg 15 分、加圧 4 kg/cm² 2 時間、後排気 600 mmHg 15 分で行った。

注入量は供試体を処理終了後 24 時間プラスチックシートで被覆して放置した後、 重量を測定した。 処理前の重量と処理後の重量との差を求めて、 m^3 あたりの kg で表したものを注入量とした。

処理の難易性は注入量の大小によって比較した。

(2) 試験結果

処理の結果は、Table 10 および Fig. 11, 12 に示すとおりである。

周辺部の注入量は比重とかなり高い相関関係を示し、比重が高くなるにつれて注入量は次第に少なくなる傾向を示す。ただしタウン (23)、ガラムート (220) では 同程度の 比重のものより 注入量が やや少なく、またダイゾックス (14) ではやや多かった。

心部の注入量も比重との関係はあるが、同程度の比重内におけるバラッキが大きくて周辺部ほど高い相関はなかった。

引用文献

- Bolza, E.: Properties and uses of 175 timber species from Papua New Guinea and West Irian, C. S. I. R. O., Report 34, 1~35, (1975)
- 2) Burgess, P. F.: Timbers of Sabah, For. Dept., Sabah, (1966)
- 3) 未利用樹種研究班(林試):パプアニューギニア材の加工的性質 第3報, 林試研報, 294, 1~49, (1977)
- 4) F. P. R. C., Dept. of Forests, Papua New Guinea: Properties and uses of Papua New Guinea timbers, Second Trade Note, 1∼44, (1973)
- 5) Bolza, E. and N. A. Kloot: The mechanical properties of New Guinea timber, Div. For. Prod. C. S. I. R. O. Tech. Paper, 41, 1~39, (1966)
- 6) Kingston, R. S. T. and Risdon, C. J. E.: Shrinkage and density of Australian and other south-west pacific wood. Div. Fo. Prod. Tech. Paper, 13, 1~65, (1961)
- 7) Webb, C.D.: Variation of interlocked grain in sweetgum. F.P.J., 8, 45~, (1969)

- 8) 木材部・林産化学部:南洋材の性質 第17報,林試研報,244,115~208,(1972)
- 9) 木材部・林産化学部:南洋材の性質 第18報,林試研報,254,55~169,(1973)
- 10) 木材部・林産化学部: 南洋材の性質 第19報, 林試研報, 262, 59~163, (1974)
- 11) 木材部・林産化学部:南洋材の性質 第20報,林試研報,269,1~95,(1974)
- 12) 葉石猛夫・中野達夫:日本産主要樹種の性質 物理的性質 第5報,林試研報,291,117~167, (1977)

Properties of Some Papua New Guinea Woods Relating
with Manufacturing Processes VI
Wood qualities, physical properties and decay
durability of some West New Britain woods

Working Group on Utilization of Tropical Woods(1)

Summary

Wood qualities and physical properties together with fungi susceptibility were examined on twenty-three wood species sampled at a lowland rain forest in West New Britain in 1976.

1. Sample trees and logs

The sample trees are listed in Table 1, of which *Ochroma*, *Eucalyptus* and *Tectona* (Nos. 221 to 224) are plantation trees. A ten meter log, as a rule, was bucked from each sample tree after the measurement of tree height, buttress height and clear length were taken. The extent of end splits was measured and both ends of sample logs were coated with a fungicide soon after bucking. The logs were shipped from Kimbe, New Britain, on September 20 th and arrived at the laboratory on October 14 th in 1976. The form of the sample trees and logs is given in Table 2.

2. Structures and physical properties

2. 1 Interlocked grain and brittleheart

The patterns of interlocked grain from pith to bark were obtained, and the severity with some interlocked grain indices for each log was decided from the recorded patterns.

The percentage of cross-sectional area of brittleheart was investigated.

Procedure

The test pieces for interlocked grain, exactly 3.0 cm wide extending from pith to bark, were taken from each disk. Each test piece was split radially from pith to bark with a special blade and hammer to reveal the interlocked pattern. The slope of interlocked grain was ob-

Received October 20, 1977

⁽¹⁾ Wood Technology Division, Wood Utilization Division and Forest Product Chemistry Division

tained by tracing along the split in every 3.0 mm with a new interlocked grain measuring apparatus which was devised in the laboratory.

Two interlocked grain indices were obtained as follows: As the first index, the average slope of interlocked points for each of the maximum S- and Z-spiral value for the whole normal wood, excluding the location of brittleheart, was calculated. As the second index, the arithmetical total of the most severely interlocked grain in S direction and that in Z direction was obtained.

The rough boundary of a brittleheart in a disk was decided in green condition by the naked eye, and a more precise one was also measured by the existence of the compression failure which could be seen on a tangential section using the stereo binocular microscope of ten magnifications.

Results

The variations of slope of grain obtained from pith to bark for each sample log are shown in Fig. 3. Table 3 shows the results of the average values of the interlocked grain and the total value at the point of the maximum S- and Z-spiral in per cent. The frequency of the maximum interlocked grain for all sample trees (East and West New Britain) is shown in Fig. 4.

The percentage of cross-sectional area of brittleheart for each tree sample is shown in Table 4.

The results obtained from these tests were summarized as follows:

- (1) Following species, Dracontomelon (201), Spondias (202), Sloanea (203), Endospermum (204), Burckella (216), Ailanthus (217), Ochroma (221), Eucalyptus (222) and Tectona (223, 224) had a tendency to show the same pattern of grain angle from pith to bark. Pimelodendron (205), Parartocarpus (213), Maranthes (214) and Vitex (220) showed a tendency to increase the grain angle from pith to bark. And also Garcinia (206), Litsea (207), Castanospermum (208), Pterocarpus (209), Aglaia (210), Amoora (211), Dysoxylum (212) and Neonauclea (215) had the decreasing pattern from pith. Sterculia (218) and Celtis (219) were somewhat different from other species.
- (2) The values of the maximum interlocked grain for each species ranged from 4.3% for *Spondias* (202) to 44.8% for *Castanospermum* (208).
- (3) Percentage of cross-sectional area of brittleheart for each species ranged from 0% for *Maranthes* (214) to 10.2% for *Sterculia* (218).

2. 2 Moisture content and specific gravity of green wood

As shown in Fig. 5, practically, there is no significant difference between the moisture content measured just after bucking and the initial moisture content at kiln-drying. Therefore, in place of the former, the latter is reported here as green wood moisture content. The specific gravity of green wood and the amount of moisture per volume (g/cm³) of each sample disk were measured (Table 5).

The moisture content ranged from 61% for Celtis (219) to 160% for Sloanea (203). The amount of moisture per volume of green wood ranged from 0.11 g/cm³ for Ochroma (221) to 0.62 g/cm³ for Castanospermum (208). The values of green specific gravity of Dracontomelon (201), Sloanea (203), Pinelodendron (205), Castanospermum (208), Pterocarpus (209), Aglaia (210), Neonauclea (215), Burckella (216) and Vitex (220) were higher than 1.0.

2. 3 Density and shrinkage

2. 3. 1 Variations of bulk density in radial direction within stem

The variations of the bulk density from pith to bark in disk of each sample tree are shown in Fig. 6.

The range between the maximum and the minimum bulk density from pith to bark in disk of each sample tree was considerably different among sampe trees. The ranges in *Spondias* (202), *Pimelodendron* (205), *Garcinia* (206), *Ailanthus* (217) and *Ochroma* (221) were less than 50 kg/m³, and those in *Dracontomelon* (201) and *Sterculia* (218) were over 201 kg/m³.

The ratio of the bulk density at 20% relative distance from pith to that at 80% on each sample disk (R_{20}/R_{80}) was calculated as an index of the variation of the bulk density from pith to bark on each sample tree (Table 5). R_{20}/R_{80} of *Garcinia* (206) was the largest and that of *Sterculia* (218) was the smallest among sample trees. R_{20}/R_{80} of each sample tree was generally less than 1.0, exclusive of *Pimelodendron* (205) and *Garcinia* (206).

2. 3. 2 Specific gravity and shrinkage

The test was carried out by the same method as described in the previous report3).

The mean values of the specific gravity and shrinkage were obtained for each sample tree (Table 6).

Of the sample species, *Ochroma* (221) and *Maranthes* (214) showed the lowest and the highest volumetric shrinkage values among the sample species, respectively.

The axial shrinkage values of *Spondias* (202), *Endospermum* (204), *Maranthes* (214), *Neonauclea* (215), *Burckella* (216), *Ailanthus* (217) and *Tectona* (223) were over 0.3% and the other species were with values less than 0.3%.

2. 4 Water absorption

2. 4. 1 Radial variation in water absorption

Procedure

The radial variations of water absorption in cross section were observed in order to find out the boundary between heart- and sapwood.

The test pieces were as shown in Fig. 7. After seasoning at $12\sim13\%$ EMC, the test pieces were sunk 50 mm below the surface of water and kept at $25\pm0.2^{\circ}$ C for three hours.

Then they were taken out of the water, split tangentially into small pieces and weighed with weighing tubes.

Results

The radial variations of water absorption are shown in Fig. 8.

Seven species, namely, *Dracontomelon* (201), *Spondias* (202), *Castanospermum* (208), *Pterocarpus* (209), *Dysoxylum* (212), *Burckella* (216) and *Tectona* (223) were with distinct demarcation between sap- and heartwood. In these species water absorption showed abrupt change at the boundary between them, except *Tectona* (223).

Some species, such as *Garcinia* (206), *Aglaia* (210), *Amoora* (211) and *Neonauclea* (215) were with colored heartwood but without clear boundary between heart- and sapwood, and their variations of water absorption were relatively narrow.

The 10 species were without distinct colored heartwood. They gave various water absorption patterns and especially *Sloanea* (203) showed such a variation pattern as that of the first group.

On the whole, as shown in Fig. 8, the amount of water absorption between one-third and two-thirds of the radius well represented the average for the water absorption of the whole cross section of all the species except *Sloanea* (203).

2. 4. 2 Water absorption

Procedure

Samples, $30 \times 30 \times 100$ mm, were taken from the zone between the one-third and two-thirds of the radii of logs and were air-dried.

In this test three to five test specimens were used for determining the amount of water absorption in each of cross, tangential and radial directions.

The method used in this test followed the specification of JIS Z 2104-1974 (Japanese Industrial Standards: Method for determination of amount of water absorption by wood).

Test specimens were sunk 50 mm below the surface of water and kept at $25\pm0.2^{\circ}\text{C}$ for 24 hours.

Results

The results are shown in Table 9. The water absorption per unit area of all the species was usually large in the order of cross, tangential and radial section except *Endospermum* (204) whose radial section absorbed much more water than tangential section.

Four species, namely *Spondias* (202), *Pimelodendron* (205), *Parartocarpus* (213) and *Sterculia* (218) were with higher water absorption, and all these species were light-colored and were remarkably blue-stained.

3. Mechanical properties

Static and impact bending tests were carried out by the methods provided in Japanese Industrial Standards on small, clear specimens.

Procedure

Twenty specimens were cut from each log except *Tectona* (224), namely, ten for static bending test and another ten for impact bending test, considering to eliminate the part of sapwood and of brittleheart wood. In the case of *Tectona* (224), the number of specimens was reduced by half due to the limited volume of logs.

Specimens were dried naturally to the air-dry condition and finished in size of $25 \times 25 \times 400 \,\mathrm{mm}$ for static bending test and $20 \times 20 \times 300 \,\mathrm{mm}$ for impact bending test according to JIS Z 2113 and JIS Z 2116 respectively.

Both tests were conducted in a laboratory controlled at 20°C and 75% relative humidity.

In the case of static bending test, 350 mm span which is 14 times the depth of specimen was used, and load was applied at midspan on the radial surface. Deflection was measured by a 50 mm stroke digital dial gauge with 0.01 mm measuring unit. Stress at proportional limit, modulus of elasticity (MOR) and modulus of rupture (MOR) were measured.

At the impact bending test, a Sharpy type $10\,\mathrm{kg\cdot m}$ impact testing machine was used. Specimen with 240 mm span was broken by a pendulum hammer at the center of span on the radial surface and absorbed energy was measured.

Results

The results obtained were shown in Table 8 with specific gravity (r_u) and moisture content (u) at test. Also the values of specific strength (MOR/r_u) , MOR/MOE and specific impact strength $(a/r_u)^2$ were given in the same table.

The results obtained from these tests are summarized as follows:

(1) The range of specific gravity of specimens tested was from 0.12 for *Ochroma* (221) to 1.03 for *Maranthes* (214).

- (2) The relation between specific gravity and modulus of elasticity and modulus of rupture in static bending are shown in Figs. 9 and 10.
- (3) In respect of the specific strength values (MOR/ r_u), 9.5 km for *Ochroma* (221) and 18.4, 18.6 km for *Aglaia* (210) and *Celtis* (219) respectively were somewhat low and high in comparison with other species.
- (4) The range of the values of MOR/MOE was from 0.67×10^{-2} for *Endospermum* (204) to 10.4×10^{-2} for *Tectona* (223).
- (5) The mean values of absorbed energy for each species ranged from 0.063 for *Ochroma* (221) to 1.51 for *Maranthes* (214).
- (6) The values of specific impact strength (a/r_u^2) ranged from 0.8 for *Castanospermum* (208) to 3.0 for *Eucalyptus* (222) with exceptionally high value of 5.0 for *Ochroma* (221).

4. Decay durability

4. 1 Relative decay durability

The decay durability of sample species was evaluated by comparing with the percentage of weight loss caused by wood destroying fungi. The percentage of weight loss was determined by the wood block method.

Procedure

The sawdust block method (JIS Z 2119_{-1958}) used in this experiment is shown as follows:

The beech sawdust containing glucose and peptone was used as the medium to culture the three wood destroying fungi. The sawdust medium are composed of beech sawdust, distilled water twice as much as the sawdust, and 1% glucose and 0.2% peptone to the sawdust in weight.

The specimens were taken at two parts of a log. The one was taken at the part which are $2\sim3\,\mathrm{cm}$ from bark, and this was regarded as the outer part in this test. In some species this corresponded to the sapwood. The other was taken at the part about two thirds of radius from pith, and this was regarded as the inner part in this test. In some species this corresponded to the heartwood.

The specimens were $20\times20\times20$ mm in size. They were dried at $60\pm2^{\circ}$ C for 48 hours and were weighed (original weight before test). Three specimens were set in the test fungi grown in each culture bottle (three bottles for each fungus), and kept at $26\pm2^{\circ}$ C for 60 days. After 60 days, the specimens were dried at $60\pm2^{\circ}$ C for 48 hours and weighed (final weight after test).

The three test fungi were *Tyromyces palustris* (Berk. et Curt.) Murr., *Coriolus versicolor* (L. et Fr.) Quél and *Pycnoporus coccineus* (Fr.) Karst.

The weight loss by decay was calculated from the following formula:

Percentage of weight loss=
$$\frac{W_1 - W_2}{W_1} \times 100$$

 W_1 : Original weight before test

 W_2 : Final weight after test

Results

The weight loss of each species is shown in Table 9.

The results obtained for inner part are summarized as follows:

1. Dracontomelon (201), Garcinia (206), Castanospermum (208), Pterocarpus (209), Aglaia (210), Neonauclea (215), Burckella (216) and Vitex (220) showed high resistance to decay.

2. Spondias (202), Endospermum (204), Litsea (207), Parartocarpus (213), Sterculia (218), Celtis (219) and Ochroma (221) showed low resistance to decay.

4. 2 Treatability

The treatability of sample species for wood preserving was evaluated by comparing with retention in the specimen treated by pressure treating method.

Procedure

The specimens were taken at the same two parts as the durability test.

The specimens were $30 \times 30 \times 600 \,\mathrm{mm}$ in size and air-dried.

The treating conditions of the pressure method are as follows:

Preliminary vacuum is $600 \, \text{mmHg}$ and vacuum time is a quarter minutes. Pressure is $4 \, \text{kg/cm^2}$ and pressing time is 2 hours. Final vacuum is $600 \, \text{mmHg}$ and vacuum time is a quarter minutes.

The specimens were covered by plastic sheets after treating, and then the water retentions in the specimens were measured after 24 hours.

Results

The retention of each species obtained by pressure treating method is shown in Table 10. The relations between retention and specific gravity are shown in Figs. 11 and 12.

The specimens from outer part took more retentions in lower specific gravity than that in higher specific gravity, in general. The relation between retention and specific gravity in inner part showed similar tendency as that in outer part.